



YILDIZ TEKNİK ÜNİVERSİTESİ
FEN BİLİMLERİ ENSTİTÜSÜ

O-denzoil-1,5di fenilpir. -3-
karb. asidin polag. inc.

Yüksek Lisans Tezi

Mehmet Verirşen

O-denzoil-1,5di fenilpir. -3-
karb. asidin polag. inc.

YILDIZ ÜNİVERSİTESİ
FEN BİLİMLERİ ENSTİTÜSÜ

361
91

78

4-BENZOİL-1,5-Dİ
FENİL PİRAZOL-3-KARBOKSİLLİ ASİDİN
(BDPPCA) POLAROGRAFİK İNCELENMESİ

Yüksek Lisans Tezi
Mehmet VERİRŞEN

İSTANBUL 1989

YILDIZ ÜNİVERSİTESİ
GENEL KİTAPLIĞI
R 361

Kot : 91
Alındığı Yer : Fan. Bilimleri Enst.
Tarih : 12/12/1990
Fatura :
Fiyatı : 10.000 TL
Ayniyat No : 1/28
Kayıt No : 47414
UDC : 54 378.242
Ek :

YILDIZ ÜNİVERSİTESİ
FEN BİLİMLERİ ENSTİTÜSÜ



4-BENZOİL-1,5-Dİ FENİL PİRAZOL-3-KARBOKSİLLİ
ASİDİN (BDPPCA) POLAROGRAFİK İNCELENMESİ

91

(YÜKSEK LİSANS TEZİ)

KİM.MOH.MEHMET VERİRŞEN

İSTANBUL-1989

4-BENZOİL-1,5 Dİ FENİL PİRAZOL-3-KARBOKSİLLİ
ASİDİN (BDPPCA) POLAROGRAFİK İNCELENMESİ

TEZ YÖNETİCİSİ : Yrd.Doç.Dr.Seyfettin ERTURAN

TEZ TESLİM TARİHİ : 27 Ocak 1989

JÜRİ ÜYELERİ : Prof.Dr.Salih DİNÇER

Prof.Dr.Selahattin GÖKMEN

Yrd.Doç.Dr.Seyfettin ERTURAN

SAVUNMA TARİHİ : 17.5.1989

TEŞEKKÜR

Tez çalışması olarak bu konuyu bana veren Bölüm Başkanımız Sayın Prof.Dr.Salih DİNÇER'e, çalışmalarımın her kademesinde benden hiçbir yardımı esirgemeyen tez danışmanım Yrd.Doç.Dr.Seyfettin ERTURAN'a teşekkürü bir borç bilirim.

Gösterdikleri alaka ve bölümlerinde sağladıkları imkanlarla tez çalışmama büyük emekleri geçen Prof.Dr.Musa ŞAHİN'e, Araş.Gör. Ali Rıza ÖZKAYA'ya ve M.O. Eğitim Fakültesi Kimya Bölümü'nün diğer mensuplarına bu vesileyle teşekkür etmek isterim.

ÖZET

Biz bu çalışmamızda BDPPCA'nın civa damla elektrod üzerindeki reaksiyon mekanizmasını ve kinetiğini özellikle açıklamak istedik.

4-Benzoil-1,5-Di Fenil Pirazol-3-Karboksilli Asidin (BDPPCA) polarografik davranışsı %76 etil alkol içeren sulu çözeltide $25 \pm 0,1^{\circ}\text{C}$ de Methrom polarografiyle değişik taşıyıcı elektrolit (LiCl , Na_2SO_4 , NaNO_3 , NH_4Cl , NaCl) ve pH da (Mc.I Tampon Sisteminde) polarogramları alınarak incelenmiştir. $3 < \text{pH} < 7,5$ da bir dalga boyu elde edilmiştir ve bunun bir elektrona karşı geldiği tesbit edilmiştir.

Redüksiyon irreversibildir ve diffüzyon akımıyla gerçekleşmektedir. Redüksiyonda alınan elektron sayısı polarografik verilerden saptanmıştır ve redüksiyon mekanizması, benzoil grubu üzerinde gerçekleşinden karboksilli grubu indirmek mümkün değildir.

ABSTRACT

We report the investigations of the polarographic reductions of BDPPCA with a special emphasis on the kinetics and mechanism of the electrode process.

Polarographic behaviour of 4-Benzoyl-1,5-Diphenyl Pyrazol-3-Carboxylic Acid (BDPPCA) in aqueous ethanol (76 % v/v) has been studied at $25 \pm 0,1^{\circ}\text{C}$ as a function of pH using Mc.I buffer and supporting electrolytes. One well-defined wave is obtained in the pH range $7,5 > \text{pH} > 3,2$, the first wave which corresponds to one-electron reduction process is irreversible and diffusion controlled. The number of electrons involved in the reduction process was determined by the polarographic data.

Since the benzoyl group is reduced first, the carboxylic group is not possible to reduce.

3.3. DEREL KESİMLER	
3.3.1. Alkol-sel Elektrolitlerde Elektrolyz	
3.3.3.1. DİFTALİK SÜSÜMÜ	
3.3.3.2. İÇİNDEKİLER	
TEŞEKKÜR	I
ÖZET	II
ABSTRACT	III
İÇİNDEKİLER	IV
TABLO LİSTESİ	VII
ŞEKİL LİSTESİ	VIII
I. GİRİŞ	1
2. KAYNAK TARAMASI	3
2.1. VOLTAMETRİK YÖNTEMLER	3
2.1.1. Türevsel Doğru Akım Polarografisi	3
2.2. CİVA DAMLA ELEKTROD (DME)	4
2.3. SPEKTROSKOPİK YÖNTEMLER	5
2.3.1. I.R.Spektroskopisi	5
2.3.2. 1H NMR Spektroskopisi	5
3. DENEYSEL ÇALIŞMALAR	7
3.1. ÇALIŞMADA KULLANILAN MATERİYALLER	7
3.1.1. Kimyasal Maddeler	7
3.1.2. Taşıyıcı Elektrolitler	7
3.1.3. İncelenen Madde (4-benzoil 1,5-di fenil pirazol-3-Karboksilli Asid'in sentezi	7
3.2. ÇALIŞMA YÖNTEMİNDE KULLANILAN ALETLER	10
3.2.1. Türevsel Doğru Akım Polarografisi	10
3.2.2. Spektroskopik Yöntemler	11
3.2.2.1. I.R. Spektroskopisi	11
3.2.2.2. 1H NMR Spektroskopisi	12

Sayfa

3.3. DENEL KISIM	12
3.3.1. Alkol-su Ortamında Civa Damla Elektrod Kullanarak dcp ile Yapılan Çalışmalar	12
3.3.3.1. Etil Alkol-su Sisteminde Taşıyıcı Elektrolit Olarak Sodyum Nitrat Kullanıldığında ve DPPCA'nın $4,44 \cdot 10^{-4}$ mol/l konsantrasyonunda çalışıldılığında elde edilen polarogramlar, çalışma koşulları ve veriler	12
3.3.3.2. Etil Alkol-su Sisteminde Taşıyıcı Elektrolit Olarak Amonyum Klorür kullanıldığında ve DPPCA'nın $4,44 \cdot 10^{-4}$ mol/l konsantrasyonunda Çalışıldılığında elde edilen polarogramlar, çalışma koşulları ve veriler	15
3.3.3.3. Etil Alkol-su Sisteminde Taşıyıcı Elektrolit Olarak Sodyum Klorür Kullanıldığı ve DPPCA'nın $4,44 \cdot 10^{-4}$ mol/l konsantrasyonunda çalışıldılığında elde edilen polarogramlar, çalışma koşulları ve veriler	18
3.3.3.4. Etil Alkol-su Sisteminde Taşıyıcı Elektrolit Olarak Sodyum Sulfat Kullanıldığı ve DPPCA'nın $4,44 \cdot 10^{-4}$ mol/l konsantrasyonunda Çalışıldılığında elde edilen polarogramlar, çalışma koşulları ve veriler	21
3.3.3.5. Etil Alkol-su Sisteminde Taşıyıcı Elektrolit Olarak Lityum Klorür Kullanıldığında ve DPPCA'nın $4,44 \cdot 10^{-4}$ mol/l konsantrasyonunda Çalışıldılığında elde edilen polarogramlar, çalışma koşulları ve veriler	24
3.3.2. Redüksiyon Akım Türünün Saptanması	27
3.3.2.1. Etil Alkol-Su sisteminde (Taşıyıcı Elektrolit Olarak Lityum Klorür Kullanıldığında) BDPPCA'nın Sabit Kon- santrasyonunda ve Farklı Civa Haznesi Yüksekliklerinde Alınan Polarogramlar ve Elde Edilen Veriler	27
3.3.2.2. Etil Alkol-su Sisteminde (Taşıyıcı Elektrolit Olarak Lityum Klorür Kullanıldığında) BDPPCA'nın Farklı Kon- santrasyonlarında ve Sabit Civa Haznesi Yüksekliklerin- de Alınan Polarogramlar ve Elde Edilen Veriler	31
3.3.3. Redüklenen Maddenin Bir Molekülünün Redüklenesinde Yer Alan Elektron Sayısının Hesaplanması	34
3.3.3.1. Taşıyıcı Elektrolit Olarak Sodyum Nitratın Seçilmesi Halinde Redüksiyonda Yer Alan Elektron Sayısının He- saplanması İçin Seçilen Polarogram, Elde Edilen Veri- ler ve Oluşturulan Grafik	34
3.3.3.2. Taşıyıcı Elektrolit Olarak Amonyum Klorürün Seçilmesi Halinde Redüksiyonda Yer Alan Elektron Sayısının He- saplanması İçin Seçilen Polarogram, Elde Edilen Veri- ler ve Oluşturulan Grafik	37
3.3.3.3. Taşıyıcı Elektrolit Olarak Sodyum Klorürün Seçilmesi Halinde Redüksiyonda Yer Alan Elektron Sayısının He- saplanması İçin Seçilen Polarogram, Elde Edilen Veri- ler ve Oluşturulan Grafik	39

Sayfa

3.3.3.4. Taşıyıcı Elektrolit Olarak Sodyum Sülfatın Seçilmesi Halinde Redüksiyonda Yer Alan Elektron Sayısının He- saplanması İçin Seçilen Polarogram, Elde Edilen Veri- ler ve Oluşturulan Grafik	41
3.3.3.5. Taşıyıcı Elektrolit Olarak Lityum Klorürün Seçilmesi Halinde Redüksiyonda Yer Alan Elektron Sayısının He- saplanması İçin Seçilen Polarogram, Elde Edilen Veri- ler ve Oluşturulan Grafik	43
4. DENEYSEL SONUÇLARIN DEĞERLENDİRİLMESİ	46
4.1. pH ETKİSİ	46
4.2. TAŞIYICI ELEKTROLİTLERİN ETKİSİ	46
4.3. REDÜKSİYON AKIM TÜRÜNÜ SAPTANMASI	46
5. SONUÇ VE ÖNERİLER	47
KAYNAKLAR	51

TABLO LİSTESİ

Sayfa

Tablo 1 : Taşıyıcı elektrolit olarak sodyum nitrat kullanıldığından çalışma koşulları ve elde edilen veriler	15
Tablo 2 : Taşıyıcı elektrolit olarak amonyum klorür kullanıldığından çalışma koşulları ve elde edilen veriler	18
Tablo 3 : Taşıyıcı elektrolit olarak sodyum klorür kullanıldığından çalışma koşulları ve elde edilen veriler	21
Tablo 4 : Taşıyıcı elektrolit olarak sodyum sülfat kullanıldığından çalışma koşulları ve elde edilen veriler	24
Tablo 5 : Taşıyıcı elektrolit olarak lityum klorür kullanıldığından çalışma koşulları ve elde edilen veriler	27
Tablo 6 : Alkol-su sisteminde (Taşıyıcı elektrolit olarak lityum klorür kullanıldığından) BDPPCA'nın sabit konsantrasyonunda ve farklı civa hıznesi yüksekliklerinde alınan polarogramlardan elde edilen veriler	29
Tablo 7 : Alkol-su sisteminde (Taşıyıcı elektrolit olarak lityum klorür kullanıldığından) BDPPCA'nın farklı konsantrasyonlarında ve sabit civa hıznesi yüksekliğinde alınan polarogramlardan elde edilen veriler	32
Tablo 8 : Redüksiyondaki elektron sayısının hesaplanması için Şekil 1a'deki 2 nolu polarogramdan elde edilen veriler ..	35
Tablo 9 : Redüksiyondaki elektron sayısının hesaplanması için Şekil 2b'deki 5 nolu polarogramdan elde edilen veriler ..	37
Tablo 10: Redüksiyondaki elektron sayısının hesaplanması için Şekil 3b'deki 4 nolu polarogramdan elde edilen veriler ..	39
Tablo 11: Redüksiyondaki elektron sayısının hesaplanması için Şekil 4b'deki 7 nolu polarogramdan elde edilen veriler ..	41
Tablo 12: Redüksiyondaki elektron sayısının hesaplanması için Şekil 5a'deki 1 nolu polarogramdan elde edilen veriler ..	43

Sekil 7: Difüzyon (BDPPCA'nın sabit konsantrasyonunda $4,44 \cdot 10^{-4}$ mol/l) civa hıznesi yüksekliğinin karekökü ile değişim Sayfa

Sekil 8: Etil alkol-su sisteminde (Taşıyıcı elektrolit olarak, Lityum klorür kullanıldığında) BDPPCA'nın farklı konsantrasyonlarında ve sabit civa hıznesi yüksekliğinde elde edilen polarogramlar Sayfa

Sekil 9: Difüzyon (civa hıznesi, BDPPCA'nın konsantrasyonu ile değişen Sayfa)

ŞEKİL LISTESİ

Şekil 1a: Etil alkol-su sisteminde (Taşıyıcı elektrolit olarak Sodyum nitrat kullanıldığında) $4,44 \cdot 10^{-4}$ mol/l konsantrasyonundaki BDPPCA'nın elde edilen polarogramları	13
Şekil 1b: Etil alkol-su sisteminde (Taşıyıcı elektrolit olarak Sodyum nitrat kullanıldığında $4,44 \cdot 10^{-4}$ mol/l konsantrasyonundaki BDPPCA'nın elde edilen polarogramları	14
Şekil 2a: Etil alkol-su sisteminde (Taşıyıcı elektrolit olarak Amonyum klorür kullanıldığında) $4,44 \cdot 10^{-4}$ mol/l konsantrasyonundaki BDPPCA'nın elde edilen polarogramları	16
Şekil 2b: Etil alkol-su sisteminde (Taşıyıcı elektrolit olarak Amonyum klorür kullanıldığında) $4,44 \cdot 10^{-4}$ mol/l konsantrasyonundaki BDPPCA'nın elde edilen polarogramları	17
Şekil 3a: Etil alkol-su sisteminde (Taşıyıcı elektrolit olarak Sodyum klorür kullanıldığında) $4,44 \cdot 10^{-4}$ mol/l konsantrasyonundaki BDPPCA'nın elde edilen polarogramları	19
Şekil 3b: Etil alkol-su sisteminde (Taşıyıcı elektrolit olarak Sodyum klorür kullanıldığında) $4,44 \cdot 10^{-4}$ mol/l konsantrasyonundaki BDPPCA'nın elde edilen polarogramları	20
Şekil 4a: Etil alkol-su sisteminde (Taşıyıcı elektrolit olarak Sodyum sülfat kullanıldığında) $4,44 \cdot 10^{-4}$ mol/l konsantrasyonundaki BDPPCA'nın elde edilen polarogramları	22
Şekil 4b: Etil alkol-su sisteminde (Taşıyıcı elektrolit olarak Sodyum sülfat kullanıldığında) $4,44 \cdot 10^{-4}$ mol/l konsantrasyonundaki BDPPCA'nın elde edilen polarogramları	23
Şekil 5a: Etil alkol-su sisteminde (Taşıyıcı elektrolit olarak Lityum klorür kullanıldığında) $4,44 \cdot 10^{-4}$ mol/l konsantrasyonundaki BDPPCA'nın elde edilen polarogramları	25
Şekil 5b: Etil alkol-su sisteminde (Taşıyıcı elektrolit olarak Lityum klorür kullanıldığında) $4,44 \cdot 10^{-4}$ mol/l konsantrasyonundaki BDPPCA'nın elde edilen polarogramları	26
Şekil 6: Etil alkol-su sisteminde (Taşıyıcı elektrolit olarak Lityum klorür kullanıldığında) BDPPCA'nın sabit konsantrasyonunda ve farklı civa hıznesi yüksekliklerinde alınan polarogramlar	28

Şekil 7 : Diffüzyon (BDPPCA'nın sabit konsantrasyonunda $4,44 \cdot 10^{-4}$ mol/l) civa haznesi yüksekliğinin karekökü ile değişimi	30
Şekil 8 : Etil alkol-su sisteminde (Taşıyıcı elektrolit olarak Lityum klorür kullanıldığında) BDPPCA'nın farklı konsantrasyonlarında ve sabit civa haznesi yüksekliğinde elde edilen polarogramlar	31
Şekil 9 : Diffüzyon akımının, BDPPCA'nın konsantrasyonu ile değişimi	33
Şekil 10: Taşıyıcı elektrolit olarak Sodyum nitratın kullanılması halinde reduksiyonda yer alan elektron sayısının hesaplanması	36
Şekil 11: Taşıyıcı elektrolit olarak amonyum klorürün kullanılması halinde reduksiyonda yer alan elektron sayısının hesaplanması	38
Şekil 12: Taşıyıcı elektrolit olarak sodyum klorürün kullanılması halinde reduksiyonda yer alan elektron sayısının hesaplanması	40
Şekil 13: Taşıyıcı elektrolit olarak sodyum sülfatının kullanılması halinde reduksiyonda yer alan elektron sayısının hesaplanması	42
Şekil 14: Taşıyıcı elektrolit olarak lityum klorürün kullanılması halinde reduksiyonda yer alan elektron sayısının hesaplanması	44

Önemli organik bileşigin polarografik incelenmesine 1959 yılında başlanmıştır. Bazı pirazolidin türevlerinin susuz ortamda incelenmiş olmasına karşın sulu ortamda polarografik olarak incelenmemiştir (19-21).

Bu çalışmada anayüz yeni bir pirazol türevinin alkol-su sistemi ve değişik taşıyıcı elektrolit ve çözümlü elektrod kullanarak polarografik çalışmalarını inclemek ve elde edilen bilgileri pirazollerin genel özelliklerle karşılaştırmaktır.

I. GİRİŞ

20. yüzyılda pirazol halkasının değişik özelliklerinin incelenmesi dikkate değer gelişmeler göstermiştir. Pirazol türevleri, geleneksel boyalı ve ilaç ham maddesi yanında, çeşitli anesteziklerin yapımında rol almıştır (1-2).

Pirazoller siklopropen sentezinde ara madde olarak kullanılarak Aynı zamanda beyazlatıcı etkileride ortaya konulmuştur. Lumunisans ve floresans maddeler üretilmiştir (3-4).

1-fenil 3-amino pirazolin sınırlı filmlerin banyosunda oksidan olarak motor yakıtlarında kullanılmaya başlanılmıştır. Pirazolin, di thio karbamat katyonlarının ayırılmasında ve analizinde entrasan kompleksler vererek onların tanımı için kullanılır (6-7).

Bazı pirazol türevleri tıpta bakteriyal-statik ve bakteriyal fonksiyonel etkiler gösterir (5-9). Pirazollere dayanan sulfamidler bu bakımından entrasandır. Örneğin, orisil'in canlı hücrede bakteriyal-statik etki yaptığı gözlenmiştir (10-11).

Alkil ve aril pirazollerin sinir sistemi üzerinde teskin edici etkisi vardır (12-13). Streoid bileşiklerin yapısında pirazol halkalarının bulunduğu sentetik insektik olarak kullanılmıştır. Örneğin 3,5 dimetil pirazol'ün bitkiler üzerinde ilaç etkisi vardır (17).

Primidon pirazollerleri kansere karşı savaşta incelenmektedir (16). Isolan, pyaralon ve pyrazoloksi'nin farmokolojik toksikliği çok fazla olduğundan sentetik insektik olarak kullanılmıştır. Örneğin 3,5 dimetil pirazol'ün bitkiler üzerinde ilaç etkisi vardır (17).

Yukarıda bazı örnekler ile açıklamak istediğimiz pirazol türevleri günümüzde literatürde geniş bir yer tutmaktadır (18). Bu kadar

Önemli organik bileşigin polarografik incelenmesine 1959 yılında Rusya'da başlanılmıştır. Bazı pirazolidin türevlerinin susuz ortamda incelenmiş olmasına karşın sulu ortamda polarografik olarak incelenmelerine rastlanmamıştır (19-21).

Bu çalışmada amaç; yeni bir pirazol türevinin alkol-su sisteminde değişik taşıyıcı elektrolit ve civa damla elektrod kullanarak polarografik davranışlarını incelemek ve elde edilen bilgileri pirazollere ait literatürde verilen genel verilerle karşılaştırmaktır.

2.1. VOLTOMETRİK YÖNTEMLER

2.1.1. Türevsel doğru akım polarografisi (ddcp)

Eletrokimyasal yöntemlerden polarografi, 58 yıllık bir geçmişe sahip, çok kullanılan ve veya dort analiz yöntem arasında yer almaktadır. İlk polarografik ölçüm 1922 yılında J. Heyrovský tarafından Sovyetlerdeki Charles Üniversitesi'nde yapılmıştır. Bu ölçümlerde dura elektrodu (DME) kullanılan voltametri polarografîdir ve verilmiştir (22).

Kullanıttı polarografik analiz 1934 de Heyrovský'dan sonra açılmış ve aşağıdaki denklem verilmiştir. Bu ifade denklemdeki gerekliklerin dışında:

$$I = I_0 e^{-\frac{RT}{4F} \ln \left(\frac{P_{O_2}}{P_{O_2}^0} \right)} \cdot \frac{1}{2} \cdot \frac{dV}{dt}$$

$$I = I_0 e^{-\frac{RT}{4F} \ln \left(\frac{P_{O_2}}{P_{O_2}^0} \right)} \cdot \frac{1}{2} \cdot \frac{dV}{dt} \cdot \frac{1}{2} \cdot \frac{dI}{dV}$$

$$I = I_0 e^{-\frac{RT}{4F} \ln \left(\frac{P_{O_2}}{P_{O_2}^0} \right)} \cdot \frac{1}{2} \cdot \frac{dV}{dt} \cdot \frac{1}{2} \cdot \frac{dI}{dV} \cdot \frac{1}{2} \cdot \frac{dI}{dV}$$

$$I = I_0 e^{-\frac{RT}{4F} \ln \left(\frac{P_{O_2}}{P_{O_2}^0} \right)} \cdot \frac{1}{2} \cdot \frac{dV}{dt} \cdot \frac{1}{2} \cdot \frac{dI}{dV} \cdot \frac{1}{2} \cdot \frac{dI}{dV} \cdot \frac{1}{2} \cdot \frac{dI}{dV}$$

$$I = I_0 e^{-\frac{RT}{4F} \ln \left(\frac{P_{O_2}}{P_{O_2}^0} \right)} \cdot \frac{1}{2} \cdot \frac{dV}{dt} \cdot \frac{1}{2} \cdot \frac{dI}{dV} \cdot \frac{1}{2} \cdot \frac{dI}{dV} \cdot \frac{1}{2} \cdot \frac{dI}{dV} \cdot \frac{1}{2} \cdot \frac{dI}{dV}$$

$$I = I_0 e^{-\frac{RT}{4F} \ln \left(\frac{P_{O_2}}{P_{O_2}^0} \right)} \cdot \frac{1}{2} \cdot \frac{dV}{dt} \cdot \frac{1}{2} \cdot \frac{dI}{dV} \cdot \frac{1}{2} \cdot \frac{dI}{dV} \cdot \frac{1}{2} \cdot \frac{dI}{dV} \cdot \frac{1}{2} \cdot \frac{dI}{dV}$$

$$I = I_0 e^{-\frac{RT}{4F} \ln \left(\frac{P_{O_2}}{P_{O_2}^0} \right)} \cdot \frac{1}{2} \cdot \frac{dV}{dt} \cdot \frac{1}{2} \cdot \frac{dI}{dV} \cdot \frac{1}{2} \cdot \frac{dI}{dV} \cdot \frac{1}{2} \cdot \frac{dI}{dV} \cdot \frac{1}{2} \cdot \frac{dI}{dV}$$

$$I = I_0 e^{-\frac{RT}{4F} \ln \left(\frac{P_{O_2}}{P_{O_2}^0} \right)} \cdot \frac{1}{2} \cdot \frac{dV}{dt} \cdot \frac{1}{2} \cdot \frac{dI}{dV} \cdot \frac{1}{2} \cdot \frac{dI}{dV} \cdot \frac{1}{2} \cdot \frac{dI}{dV} \cdot \frac{1}{2} \cdot \frac{dI}{dV}$$

$$I = I_0 e^{-\frac{RT}{4F} \ln \left(\frac{P_{O_2}}{P_{O_2}^0} \right)} \cdot \frac{1}{2} \cdot \frac{dV}{dt} \cdot \frac{1}{2} \cdot \frac{dI}{dV} \cdot \frac{1}{2} \cdot \frac{dI}{dV} \cdot \frac{1}{2} \cdot \frac{dI}{dV} \cdot \frac{1}{2} \cdot \frac{dI}{dV}$$

Kısa bir zaman sonra Goldhoff polarografik ölçümlere toward teknik edecek pratik ve teorik kavramları açıklamıştır. Bu yılın bu tarihinden 1941 yılında Goldhoff ve Liegare (45) tarafından polarography ile ar- tında yayınlanmıştır. İkinci polarografi kitabı 1951 yılında yayınlanmıştır.

2.2. CIVA DAMLA ELEKTROD (DME)

Civa damla elektrodu ilk defa Heyrovsky (22) tarafından 1922 yılında kullanılmıştır. Litteraturde 1922 yılında geçerlidir.

2. KAYNAK TARAMASI

2.1. VOLTAMETRİK YÖNTEMLER

2.1.1. Türevsel doğru akım polarografisi (ddcp)

Elektrokimyasal yöntemlerden polarografi, 58 yıllık bir geçmişi olmasına rağmen, çok kullanılan üç veya dört analiz yöntemi arasında yer alır. İlk polarografik ölçümler 1922 yılında J. Heyrovsky tarafından Çekoslovakya'daki Charles Üniversitesinde yapılmış ve geliştirilmiştir. Civa damla elektrod (DME) kullanılan voltametrik yöntemlere polarografi adı verilmiştir (22).

Kantitatif polarografik analiz ilk defa 1934 de Ilkoviç tarafından açıklanmış ve aşağıdaki denklem verilmiştir. Bu ifade denel olarak gerçekleştirilmiştir.

$$I_d = 607 n D^{1/2} m^{2/3} t^{1/6} c$$

I_d = Ortalama diffüzyon (limit) akımı (μA)

n = Katodik redüksiyonda alınan elektron sayısı

D = Elektro aktifin dielektrik sabiti ($cm^2 s^{-1}$)

m = Saniyede akan civa damlasının kütlesi ($mg s^{-1}$)

t = Civa damlasının damlama süresi (s)

c = Konsantrasyon ($m Mol/l$)

Kısa bir zaman sonra Kolthoff polarografik ölçümlere temel teşkil edecek pratik ve teorik kavramları açıklamıştır. Bütün bu çalışmalar 1941 yılında Kolthoff ve Lingane (45) tarafından polarography ismi altında yayınlanmıştır. İkinci polarografi kitabı 1951 yılında yayınlanmıştır.

2.2. CİVA DAMLA ELEKTROD (DME)

Civa damla elektrodu ilk defa Heyrowsky (22) tarafından bulunmuş ve kullanılmıştır. Literatüre 1922 yılında geçmiştir.

Kullanım amaçlarına göre DME üç çeşittir:

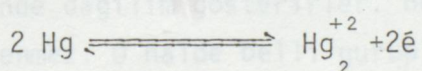
- Aşağı doğru akan civa damla elektrod (Downward Electrodos)
- Yatay akan civa damla elektrod (Horizontal Electrodos)
- Yukarı doğru akan civa damla elektrod (Upward Electrodos)

En fazla kullanılan elektrod tipi (a)'dır. (c) tipi civa damla elektrodu kullanış şekline göre ikiye ayrılır.

1- Geniş çaplı civa damla elektrod (Wide-bore dropping mercury electrod)

2- Döner civa damla elektrod (Rotary dropping mercury electrod) (RDME).

Civa damla elektodu 0,4 v ile -1,3 v arasında çalışır. (Normal hidrojen elektroda göre) 0,4 voltun üstünde civa okside olur:



-1,3 volt'dan daha negatif potansiyelde hidrojen çıkar. Civa damla elektroda civa yüzeyi devamlı yenilendiğinden elektrodun zehirlenmesi mümkün değildir. 0,1-0,2 amp/v değerinde kapasitif bir akımın oluşması DME uygulamasının tek sakıncalı tarafıdır.

Bilindiği gibi damlayan civa elektrodun civa yüzeyinde oluşacak kapasitif akım, elektrodun duyarlığını azaltacaktır. Depolarize iyon konsantrasyonu azaldıkça faraday akımının azalmasına rağmen kapasitif akım sabit kalır. Böylece kapasitif akımın faraday akımına oranı devamlı büyür. Faraday akımı kapasitif akımdan daha küçüktür. Bu nedenle bunların birbirine oranı daima birden büyütür.

Pek çok polarograflarda bu kapasitif akımı yok etmek için ters yönde doğrusal değişen bir akım, elektrod yüzeyinden geçirilir. Düşük depolarizör konsantrasyonlarında bu tip dengeleme bazen yeterli olur.

2.3. SPEKTROSKOPİK YÖNTEMLER

2.3.1. IR Spektroskopi Yöntemi

Molekül yapısının aydınlatılmasında en çok yararlanılan yöntemlerden biridir. Titreşim spektrumları yardımıyla bir molekülün biçimini ve simetrisini aydınlatma olanağı vardır. Titreşim ve dönme absorbsiyon spektrumlarından yararlanarak;

- 1- Molekül yapısı
- 2- Moleküldeki bağlara ait kuvvet sabiti ve eylemsizlik momentleri tayin edilebilinir.

IR Spektroskopisinin organik kimyada ki uygulamaları başarılı sonuçlar vermiştir. Büyük organik moleküllerin IR Spektrumları ile bireşinin hangi bileşik olduğu veya bileşikte hangi gurupların olduğunu tesbit etmek mümkündür.

Organik molekülündeki bazı bağlar veya fonksiyonel guruplar belli bir frekans ile titreşim yaparlar. Yani bu bağlar veya guruplar belli bir enerji düzeyinde dağılım gösterirler. Bu dağılım molekülün öteki kısımlarından etkilenmez. O halde belli gurupların daha önceden bilinen frekansları bir spektrumda denel olarak gözlenmiş ise organik molekülde o gurubun varlığı ispatlanmış olur. Aynı zamanda poliatomik moleküllerin titreşim spektrumları bunların saflığı hakkında fikir verir.

Bir çok organik maddelerin IR spektrumları katolog halinde yayınlanmıştır. Bu katologlardan yararlanarak IR spektrumlarını parmak izi gibi kullanarak analiz yapmak mümkündür (47-48).

2.3.2. ^1H Nükleer Mağnetik Rezonans (NMR) Spektroskopi Yöntemi

Kuvvetli ve homojen bir mağnetik alana konmuş bir bileşikte, nötron veya proton sayısı tek olan atom çekirdekleri ile, radyo dalgaları bölgesindeki elektromagnetik ışınlarının karşılıklı etkileşmesine dayanan nükleer magnetik rezonans 1946 da Purcell ve Bloch tarafından keşfedilmiştir. Karbon, oksijen ve kükürt gibi proton ve nötron sayıları çift

olan çekirdekler NMR absorpsiyonu göstermezler.

NMR-Spektroskopisinin organik kimyada başlıca uygulama alanı molekülde hidrojenlerin hangi atomlara ve kaçar tane bağlı olduklarını belirtmekte yaranan, dolayısıyle konstitusyon aydınlatılmasına birinci derecede yardımcı olan, proton magnetik rezonanstır. Hidrojen çekirdeği yani proton, dönen artı yüklü bir birim olarak dönüş ekseni boyunca zayıf bir magnetik alan meydana getirir (Protonun bir magnetik momenti vardır). Proton, içinde bulunduğu H_0 magnetik alanına parel bir durum alır. Bu, proton için düşük enerjili yani kararlı haldir. Küçük bir magnet olan protonun, kuantum kısıtlamaları nedeni ile, bir de ikinci bir enerji düzeyine geçme seçeneği vardır. Bu da, belirli bir enerji kuantumu alıp H_0 alanına (dış magnetik alan) zıt yönlenmektir (anti parel durum). Her iki hal arasındaki enerji farkı : $\Delta E = 2\mu H_0$ dır.
(μ = protonun magnetik momenti)

E 'nin büyülü mertebesi radyo dalgalarının enerji bölgüsüne rastlar ve şimdü bileşig'e ν frekanslı radyo dalgaları gönderilecek olursa $\Delta E = h\nu$ enerjisini absorbe ederek H_0 alanına antiparel duruma geçer. E eşitliklerinden çıkarılacağı üzere radyo frekansı;

$$\nu = \frac{2\mu}{h} H_0$$

olduğundan, enerji absorpsiyonu için (rezonans haline varmak için) ya dış magnetik alan sabit tutulur, radyo frekansları değiştirilir; yahut ta frekans sabit tutulur, H değiştirilir. Pratikte bu ikinci yöntem uygulanır. Molekülde elektronların meydana getirdiği H magnetik alanı H_0 'a zıt veya parel olabileceğinden protonun rezonansa geçmesinde etkin olan dış magnetik alan H_0 değil $H_0 - H$ veya $H_0 + H$ dır. Bundan dolayı bütün protonlar aynı rezonans frekansında absorpsiyon göstermezler: tepeler aralıklı çıkar, yani birbirine göre kaymışlardır (Kimyasal kayma).

Nikel ilavesi kristallendirmeyi iyileştirdi. Lıkt maddemiz solid hale getti. Kristallendirmeyi cebuklaştırmak için karıştırma işlemini sona erdirme dozunu elinizde bulunan Benzoil Aseto Fenon kristallerinden 1-2 kısım atılarak edildi. Karıştırıldan sonra maddemiz buzdolabında bir gece bekletildi. Sonra niçde'den sızdırıp 200 ml H₂O ve 140 ml C₂H₅OH karıştırılarak suanlaşırdı. Madde eliminyon reaktif ile niçde içinde tromp altında sızdırıldı. İkinci etapda desikatöründe P₂O₅ ortamında iyice kurutuldu. Benzoil Aseto Fenon kristalleri suanlaşırdıktan sonra kristaller halinde elde edilir.

3. DENEYSEL ÇALIŞMALAR

3.1. ÇALIŞMADA KULLANILAN MATERİYALLER

3.1.1. Kimyasal Maddeler:

Söz konusu çalışmamızda maddemizi (BDPPCA)'yı çözmek için %76'lık etil alkol çözeltisi ve tampon sistemi oluşturmada sitrik asid, disodyum fosfat ikilisi kullanıldı.

3.1.2. Taşıyıcı Elektrolitler:

Taşıyıcı elektrolit olarak, sodyum klorür (NaCl), sodyum sülfat (Na₂SO₄), sodyum nitrat (NaNO₃), lityum klorür (LiCl) ve amonyum klorür (NH₄Cl) kullanılmıştır. Söz konusu maddelerin tamamı Merck ürünü olup, herhangi bir işleme tabi tutulmaksızın kullanılmışlardır.

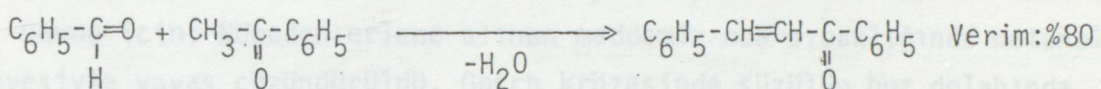
3.1.3. İncelenen Madde:

Araştırma konumuz olan 4-benzoil-1,5-di fenil pirazol-3-karboksilli asidin (BDPPCA) sentezi 5 aşamada organik laboratuarında yapıldı ve saflaştırıldı. İlgili maddeler, sentezin yapılışında açıklanacaktır.

a) Benzal Aseto Fenon'un Elde Edilişi :

1 litrelilik üç boyunlu balona 22 g NaOH kondu. 500 ml'lik bir ölçü kabında 200 ml H₂O ve 140 ml alkol karıştırıldıktan sonra üç boyunlu balona döküldü. Bir mekanik karıştırıcı yardımıyla buz üzerinde karıştırılarak çözüldü. Buz üzerine tuz ilave edip biraz bekledikten sonra vakuuma destillenmiş 52 g Aseto-Fenon (51 cc) yavaş yavaş damlatıldı. Bu iş bittikten sonra destillenmiş 46 g benzaldehit üç boyunluya ilave edildi ve 5-6 saat kadar tuz-buz karışımı üzerinde karıştırılmaya devam edildi. Banyo temperatürü -10 °C da sabit tutuldu. Arada sırada 20 cc daha

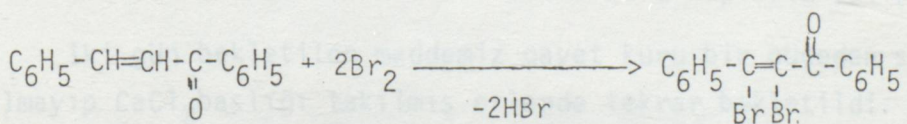
alkol ilavesi kristallendirmeyi iyileştirdi. Likit maddemiz solid hale geçti. Kristallendirmeyi çabuklaştırmak için karıştırma işleminin sonuna doğru elimizde bulunan Benzol Aseto Fenon kristallerinden 1-2 kris-tal ilave edildi. Karıştırmadan sonra maddemiz buz dolabında bir gece bekletildi. Sonra nüçe'den süzülüp 200 ml H₂O ve 140 ml C₂H₅OH karışımı ile yıkandı. Madde alimunyum kağıt ile nüçe erlende tromp altında süzü-lüp vakum desikatöründe P₂O₅ ortamında iyice kurutuldu. Benzal Aseto Fenon iyi kurutulduğunda açık sarı kristaller halinde elde edilir.



b) Benzol Aseto Fenon Di Bromid'in Elde Edilişi :

Hesaplanan mikarda tartılan Benzol Aseto Fenon tuz-buz karışımı içinde bulunan üç boyunluya konulup CCl₄ de çözüldü. Bu çözeltiye hesaplanan miktar Br₂, bir damlatma hunisi vasıtasyyla yavaş yavaş damlatıldı ve karıştırıldı. Reaksiyona girmeyen Br₂ buharları 3 boyunludan bir lastik boru ile tahliye edildi. Karıştırma sürerken madde kristalleşmeye başladı. Kristallendirme işlemine Br₂ rengi kayboluncaya kadar devam edildi. Br₂ ilavesi bittikten sonra yarı saat daha karıştırıldı.

Madde nüçeden süzüldü, alkol ve sıcak alkol ile iyice yıkandı. Alimunyum kağıt altında vakum desikatöründe P₂O₅ altında kurutuldu. Desikatoreye ayrıca CCl₄ için parafin ilave edildi. Renksiz kristaller hâlinde maddemiz iyice kuruduktan sonra tartıldı ve E.N.'na bakıldı.

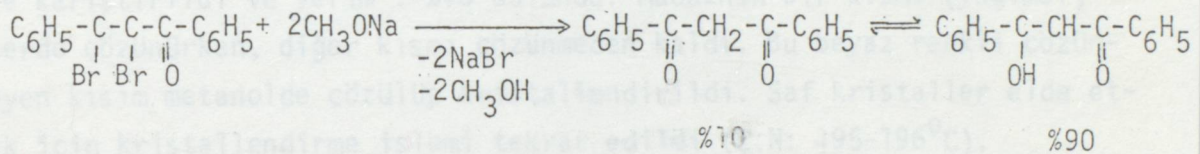


c) Benzol Aseto Fenon di Bromid'in Metillendirilmesi :

90 g Benzol Aseto Fenon di Bromid üç boyunluya konuldu ve karıştırılırken 100 ml CH₃OH ilave edildi. Diğer taraftan silifli kuru 300 ml'lik erlen alınıp üzerine CaCl₂'lü bir geri soğutucu takıldı. Bu erlene 120 ml CH₃OH kondu, üzerine tartılmış metalik Na'dan azar azar

ilave edildi. Geri soğutucu altında Na metalinin çözünmesi beklandı. Temperaturun 50°C 'ın üzerine çıkmaması sağlandı. 12 g Na'un çözünmesi tamamlandıktan sonra elde edilen Na-Metilat geri soğutucu takılmış üç boyunlu içindeki maddemiz üzerine yavaş yavaş ilave edildi. 75°C da bir saat karıştırıldı ve soğumaya bırakıldı. Bunun üzerine $\text{pH} = 1.0$ oluncaya kadar derişik HCl ilave edildi. 5 dakika daha karıştırıldıktan sonra buzdolabında soğumaya bırakıldı.

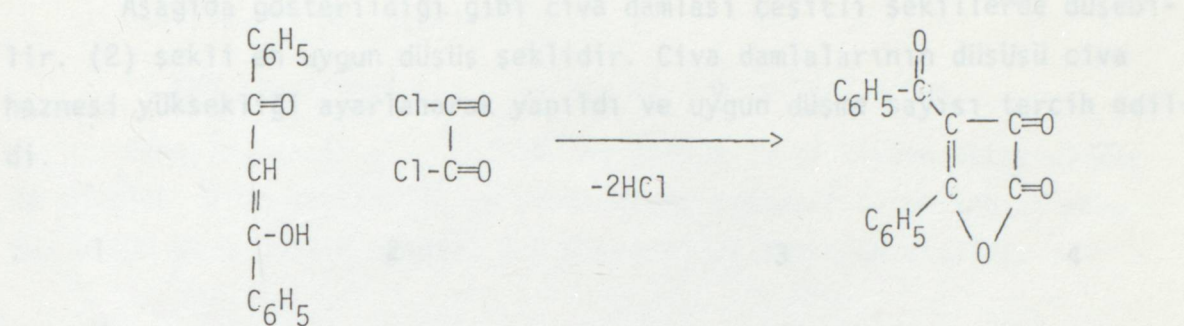
Bir gün sonra karışım nüceden süzülüp %50'lik soğuk metil alkol ile yıkandı. Daha sonra destile su ile yıkandı metanolde kristallendirildi. Bunun için: Nüceden erlene alınan maddemiz oda sıcaklığında metanol ilavesiyle yavaş çözündürüldü. Gosch krözesinde süzülüp buz dolabında 2-3 saat bekletildi. Kristalleen maddemiz nüceden süzülüp süzüntü ile yıkandı. P_2O_5 altında vakum desikatöründe kurutuldu.



d) Furondion 2-3'ün Eldesi :

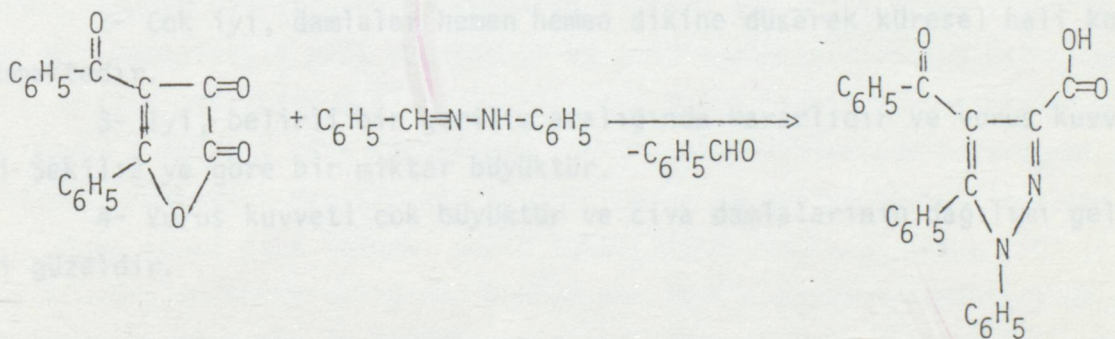
10 g di benzol methan tartılıp 300 ml'lik şilifli bir erlene kondu. Üzerine 100 ml mutlak eter ilave edildi. Di benzol methan çözüldü. Anorganik tuzlardan iyice ayrılması için bir daha filtre edildi. Bundan sonra üzerine 4 ml oksil klorür ilave edilip CaCl_2 başlığı altında 2-3 gün bekletildi. Furondion 2,3, sarı iğne şeklinde kristallendi (oksil klorür ile çalışırken çok dikkat edilmeli ve daima kuru kaplarla çalışmalıdır).

İki gün bekletilen maddemiz gayet kuru bir nüceden süzüldü. Süzüntü atılmayıp CaCl_2 başlığı takılmış erlene teknar bekletildi. Furondion-2,3 bir şilifli erlene alınıp CCl_4 de kristallendirildi. CCl_4 fazlarından kaçınmak gereklidir, aksi halde kristaller kirli olur. Ayrıca Furondion fazla sıcakta bozunur. Erlendeki madde buz dolabında bir saat bekletildi, teknar süzüldü. P_2O_5 ve parafin bulunan vakum desikatöründe kurutuldu.



e) 4-Benzoil-1,5 Di Fenil-Pirazol-3 Karboksilli Asid'in Elde Edilişi :

0.5 g Furondion-2.3 ve 0.55 g benzoil hidrazon (1:1) karışımı 90-100°C da yağ banyosunda kuru kuruya reaksiyona sokuldu. Eriyen karışım kısa bir müddet (5 dakika) sonra katılaşır. Soğutulan ürün mutlak eter ile karıştırıldı ve verim : %70 bulundu. Maddenin bir kısmı (yağımsı) eterde çözünürken, diğer kısmı çözünmeden kaldı. Bu beyaz renkli çözünmeyen kısım metanolde çözülüp kristallendirildi. Saf kristaller elde etmek için kristallendirme işlemi tekrar edildi (E.N: 195-196°C).



3.2. ÇALIŞMA YÖNTEMİNDE KULLANILAN ALETLER

3.2.1. Türevsel Doğru Akım Polarografisi (dcp)

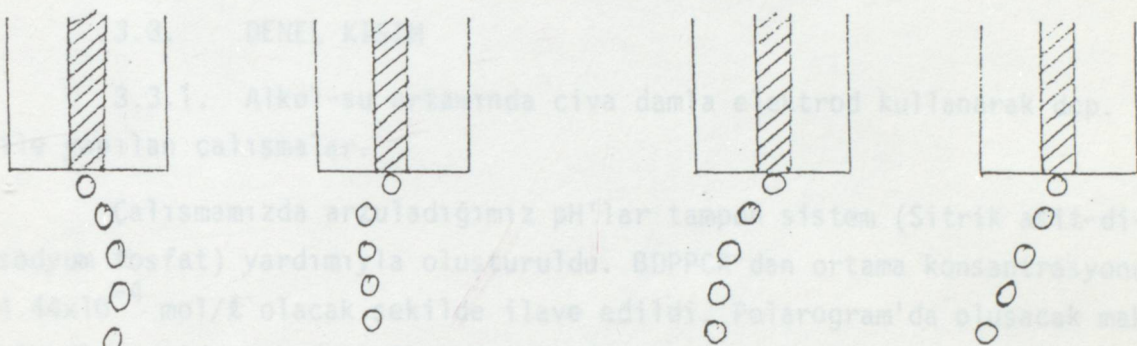
Polarografi : Methrom E-261

pH-Metre : WTW-91

Elektrod : Civa damla elektrodu

Aşağıda gösterildiği gibi civa daması çeşitli şekillerde düşebilir. (2) şekli en uygun düşüş şeklidir. Civa damalarının düşüşü civa haznesi yüksekliği ayarlanarak yapıldı ve uygun düşme sayısı tercih edildi.

Deneyin yapılması : 200 mg BDPPCA ile 200 mg KBr bir porselen kroze-de karıştırıldı. Tablet haline getirmek için vakum pompalı presde sıkıştırdı. 1 cm çapında 1 mm kalınlığında tablet halinde 2.5-16 mikron dalga boyunda ($4000-600 \text{ cm}^{-1}$) spektrum alındı.



1- Vuruş kuvveti pek zayıftır.

2- Çok iyi, damalar hemen hemen dikine düşerek küresel hali korumaktadır.

3- İyi, belirli bir gerilim aralığında kararlıdır ve vuruş kuvveti Şekil:2 ye göre bir miktar büyütür.

4- Vuruş kuvveti çok büyütür ve civa damalarının dağılımı gelişmiş güzeldir.

3.2.2. Spektroskopik Yöntemler

3.2.2.1. IR Spektroskopisi :

IR Spektrometresi : Double-Beam yazıcılı Infrared, Perkins-Elmer Gratin model 1621 (Optical-null)

Deneyin yapılması : 2 mg BDPPCA ile 200 mg KBr bir porselen kroze-de karıştırıldı. Tablet haline getirmek için vakum pompalı presde sıkıştırdı. 1 cm çapında 1 mm kalınlığında tablet halinde 2.5-16 mikron dalga boyunda ($4000-600 \text{ cm}^{-1}$) spektrum alındı.

3.2.2.2. ^1H NMR Spektroskopisi :

^1H NMR spektrometresi : Varian HA-100 fa. Varian-Mat.

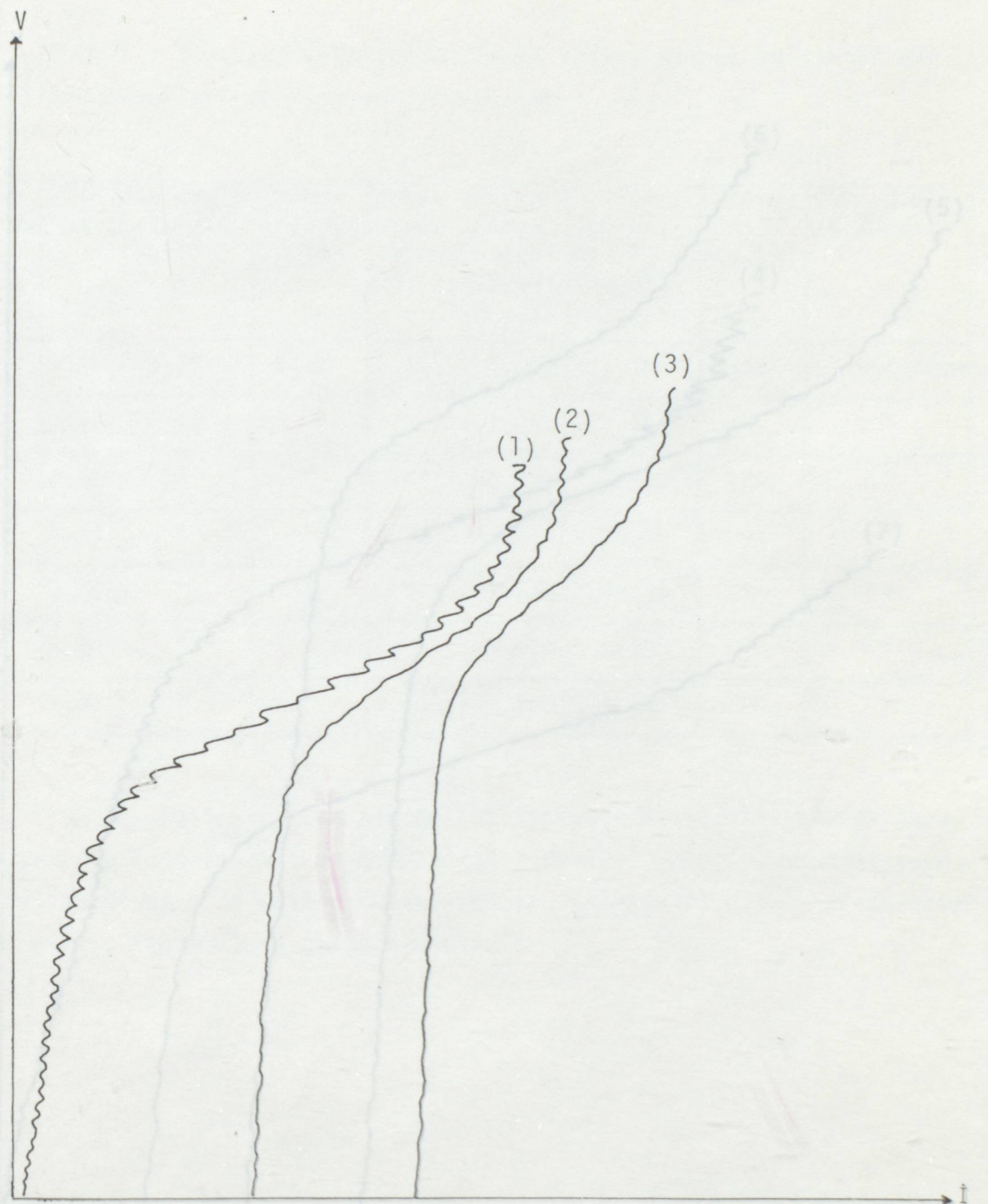
Deneyin yapılışı : 150 mg BDPPCA 20 ml karbon tetra klorür de çözüldü. 2 mm çapında 12 cm uzunluğunda standart ölçme kabına konuldu. 0-500 Hz magnetik alanda, 0-8.0 ppm(δ)'de spektrum çizildi.

3.3. DENEL KISIM

3.3.1. Alkol-su ortamında civa damla elektrod kullanarak dcp. ile yapılan çalışmalar.

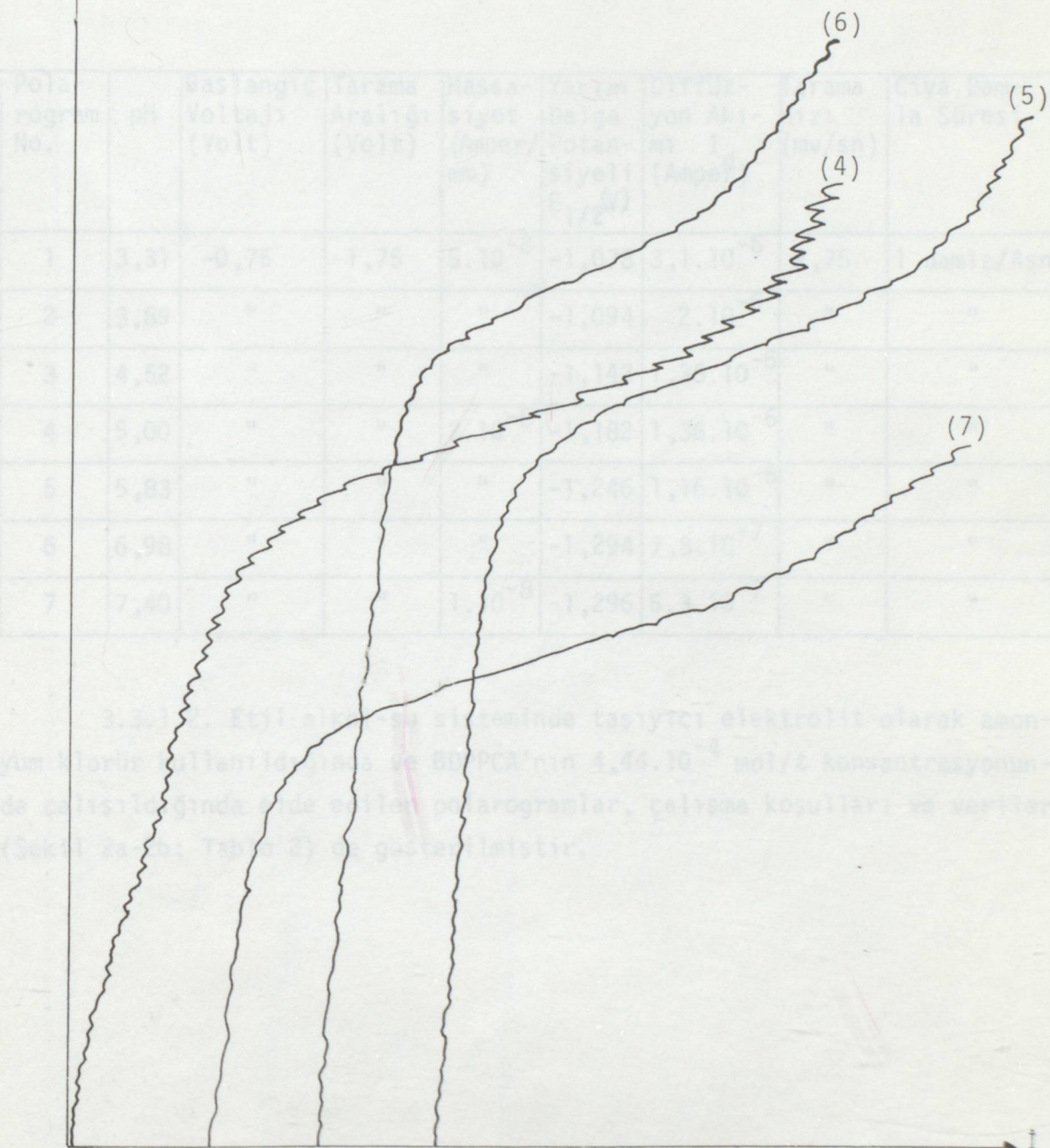
Çalışmamızda arzuladığımız pH'lar tampon sistem (Sitrik asit-disodyum fosfat) yardımıyla oluşturuldu. BDPPCA'dan ortama konsantrasyonu 4.44×10^{-4} mol/l olacak şekilde ilave edildi. Polarogram'da oluşacak maksimumları gidermek için 2 ml % 0.2 lik jelatin çözeltisinden ortama ilave edildi. İstenmeyen sonuçlar yarattığından çözelti hücresindeki O_2 'yi gidermek için 15 dakika süreyle N_2 (Azot) gazı geçirildi ve sabit temperatürde (25 ± 0.1 °C) polarogramlar alındı. Bu çalışmalarda beş değişik taşıyıcı kullanıldı. Bunlar NaCl (Sodyum klorür), Na_2SO_4 (sodyum sülfat), $NaNO_3$ (Sodyum nitrat), NH_4Cl (Amonyum klorür) ve LiCl (Lityum klorür)dür. Her bir taşıyıcıyla yedi değişik pH'da polarogramlar alınmaya çalışılmıştır. Ayrıca LiCl(Lityum klorür) taşıyıcılığında, sabit konsantrasyonda (4.44×10^{-4} mol/l), civa haznesinin farklı yüksekliklerinde polarogramlar alınmış. Yükseklik değişiminin I_d (diffüzyon akımı)'ye etkisi incelenmiştir. Daha sonra civa haznesi sabit yükseklikte tutularak, yine LiCl (Lityum klorür)'ün taşıyıcılığında BDPPCA'nın farklı konsantrasyonlarında polarogramlar alınarak I_d (diffüzyon akımı)'ları ve $E_{1/2}$ (Yarı dalga potansiyel)'leri elde edilmiş, şartların değişiminin bunlar üzerindeki etkisi incelenmiştir.

3.3.1.1. Etil alkol-su sisteminde taşıyıcı elektrolit olarak Sodyum nitrat kullanıldığında ve BDPPCA'nın $4.44 \cdot 10^{-4}$ mol/l konsantrasyonunda çalışıldığında elde edilen polarogramlar, çalışma koşulları ve veriler (Şekil 1a-1b; Tablo 1)de gösterilmiştir.



Şekil 1a : Etil alkol-su sisteminde (Taşıyıcı Elektrolit olarak sodyum nitrat kullanıldığında) $4,44 \cdot 10^{-4}$ mol/l konsantrasyonundaki BDPPCA'nın elde edilen polarogramları

V Tablo 4 : Taşıyıcı elektrolit olarak sodyum nitrat kullanıldığında, çalışma koşulları ve elde edilen veriler

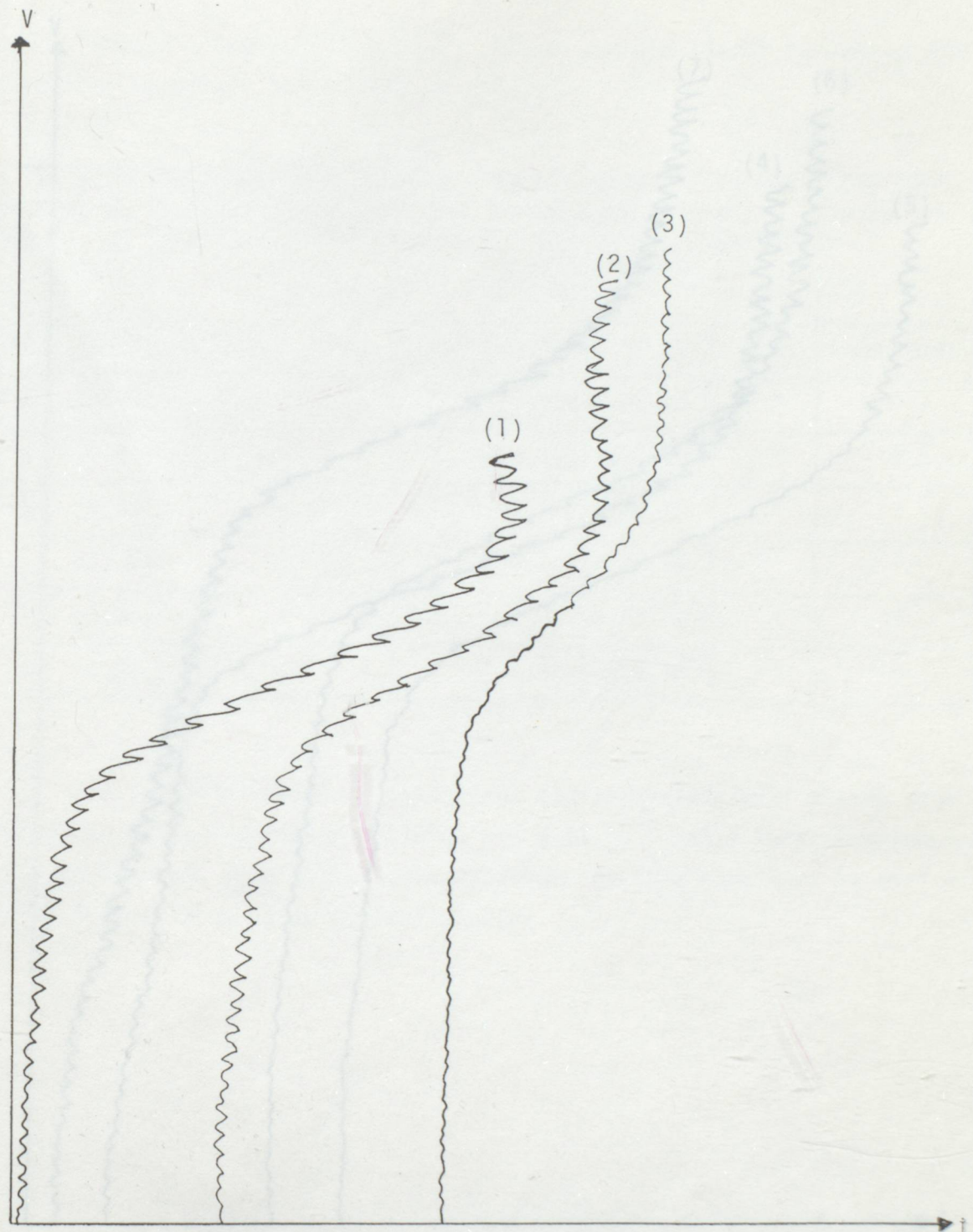


Şekil 1b : Etil alkol-su sisteminde (Taşıyıcı elektrolit olarak sodyum nitrat kullanıldığında) $4,44 \cdot 10^{-4}$ mol/l konsantrasyonundaki BDPPCA'nın elde edilen polarogramları.

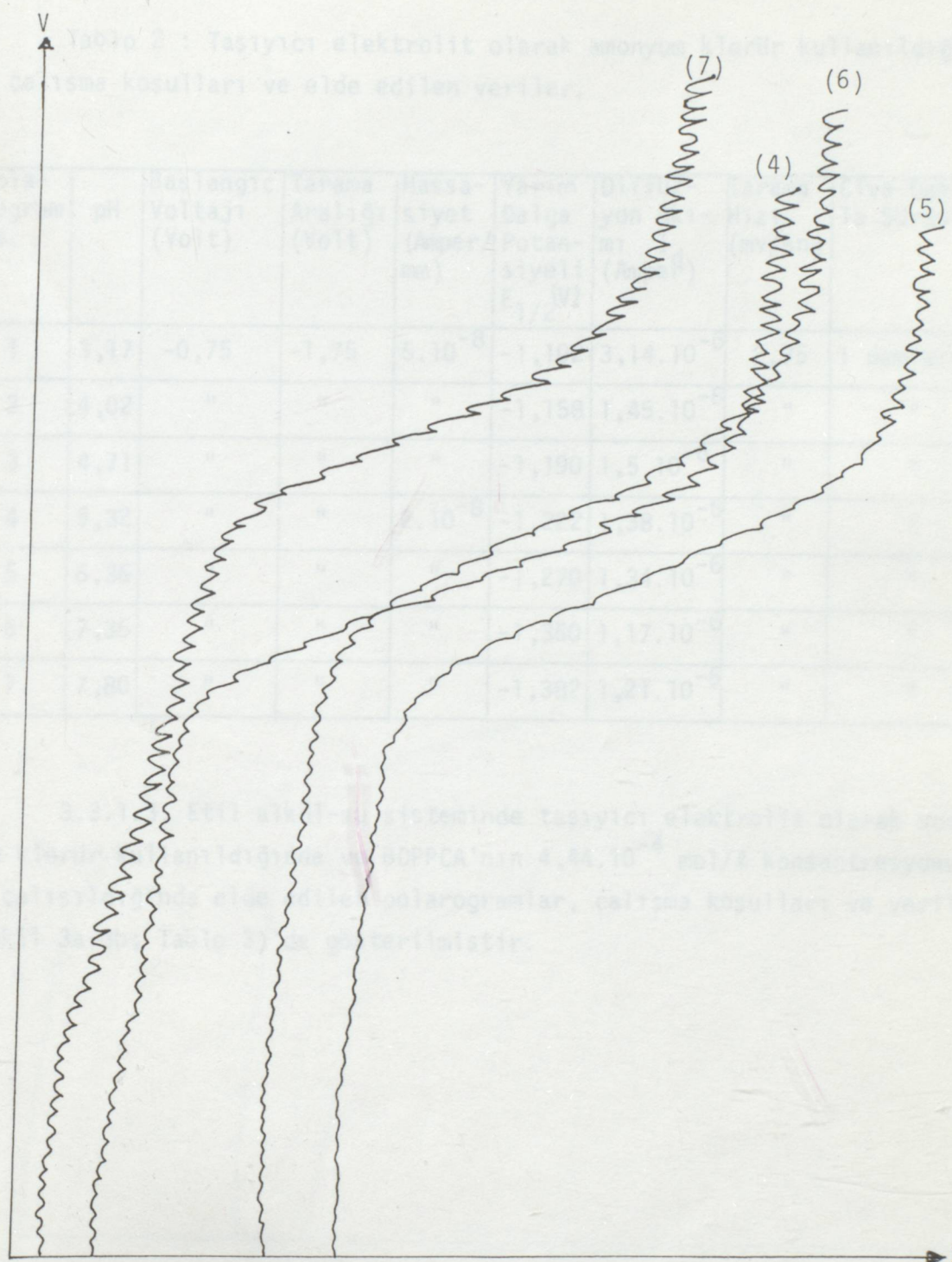
Tablo 1 : Taşıyıcı elektrolit olarak sodyum nitrat kullanıldığında, çalışma koşulları ve elde edilen veriler.

Polarogram No.	pH	Başlangıç Voltajı (Volt)	Tarama Aralığı (Volt)	Hassasiyet (Amper/mm)	Yarım Dağı Potansiyeli $E_{1/2}$ (V)	Diffüzyon Akımı I (Amper)	Tarama Hızı (mv/sn)	Civa Damla Süresi
1	3,31	-0,75	-1,75	$5 \cdot 10^{-8}$	-1,078	$3,1 \cdot 10^{-6}$	2,75	1 damla/4sn
2	3,89	"	"	"	-1,094	$2 \cdot 10^{-6}$	"	"
3	4,52	"	"	"	-1,142	$1,35 \cdot 10^{-6}$	"	"
4	5,00	"	"	$2 \cdot 10^{-8}$	-1,182	$1,36 \cdot 10^{-6}$	"	"
5	5,83	"	"	"	-1,246	$1,16 \cdot 10^{-6}$	"	"
6	6,98	"	"	"	-1,294	$7,8 \cdot 10^{-7}$	"	"
7	7,40	"	"	$1 \cdot 10^{-8}$	-1,296	$5,3 \cdot 10^{-7}$	"	"

3.3.1.2. Etil alkol-su sisteminde taşıyıcı elektrolit olarak amonyum klorür kullanıldığında ve BDPPCA'nın $4,44 \cdot 10^{-4}$ mol/l konsantrasyonunda çalışıldığında elde edilen polarogramlar, çalışma koşulları ve veriler (Şekil 2a-2b; Tablo 2) de gösterilmiştir.



Şekil 2a : Etil alkol-su sisteminde (Taşıyıcı elektrolit olarak amonyum klorür kullanıldığında) $4,44 \cdot 10^{-4}$ mol/l konsantrasyonundaki BDPPCA'nın elde edilen polarogramları.

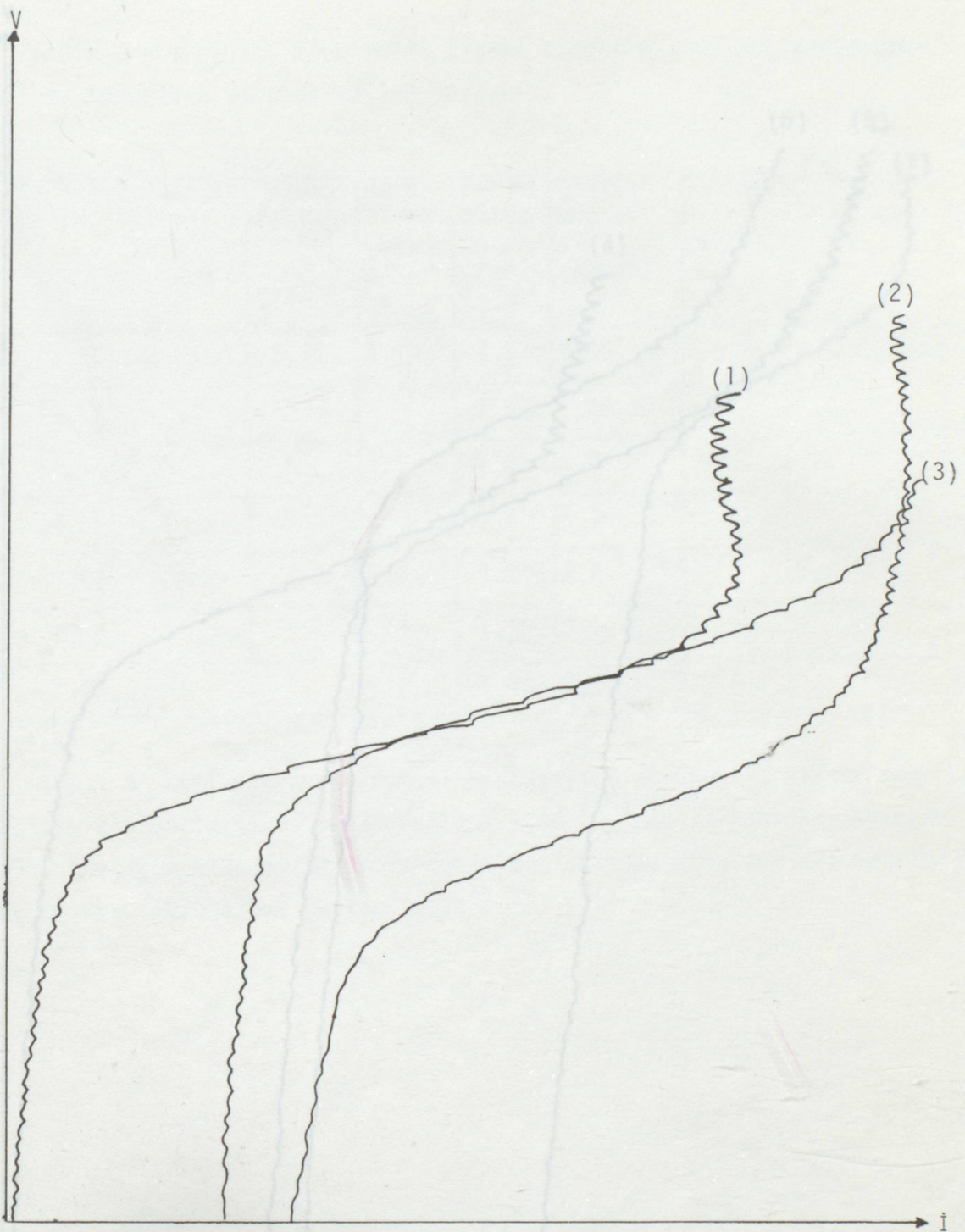


Şekil 2b : Etil alkol-su sisteminde (Taşıyıcı elektrolit olarak amonyum klorür kullanıldığında) $4,44 \cdot 10^{-4}$ mol/l konsantrasyonundaki BDPPCA'nın elde edilen polarogramları.

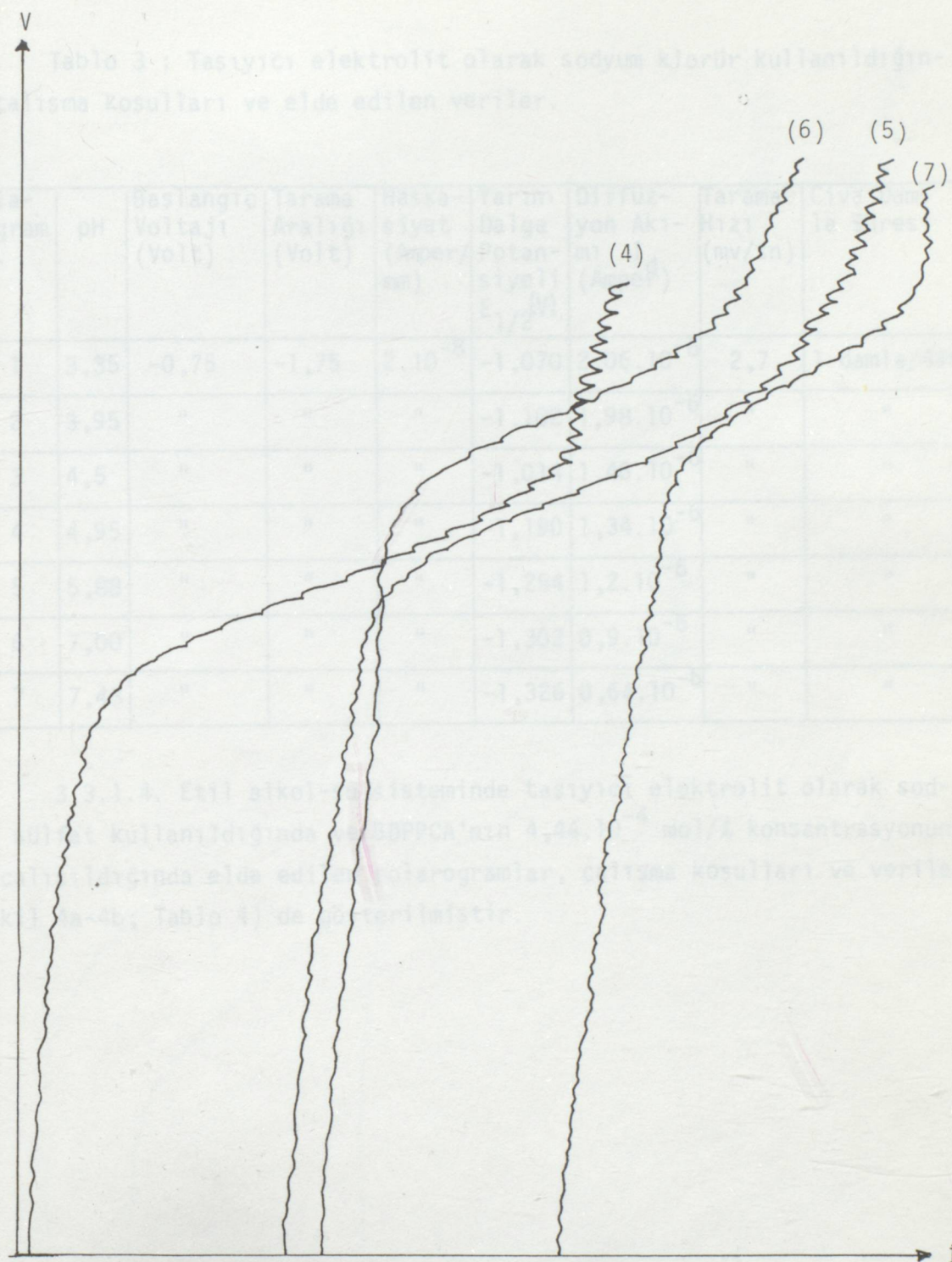
Tablo 2 : Taşıyıcı elektrolit olarak amonyum klorür kullanıldığından çalışma koşulları ve elde edilen veriler.

Pola- rogram No.	pH	Başlangıç Voltajı (Volt)	Tarama Aralığı (Volt)	Hassa- siyet (Amper/ mm)	Yarım Dalga Potan- siyeli $E_{1/2}$ (V)	Diffüz- yon Akı- mı I (Amper)	Tarama Hızı (mv/sn)	Civa Dam- la Süresi
1	3,17	-0,75	-1,75	$5 \cdot 10^{-8}$	-1,102	$3,14 \cdot 10^{-6}$	2,75	1 damla/4sn
2	4,02	"	"	"	-1,158	$1,45 \cdot 10^{-6}$	"	"
3	4,71	"	"	"	-1,190	$1,5 \cdot 10^{-6}$	"	"
4	5,32	"	"	$2 \cdot 10^{-8}$	-1,222	$1,38 \cdot 10^{-6}$	"	"
5	6,36	"	"	"	-1,270	$1,34 \cdot 10^{-6}$	"	"
6	7,35	"	"	"	-1,350	$1,17 \cdot 10^{-6}$	"	"
7	7,80	"	"	"	-1,382	$1,21 \cdot 10^{-6}$	"	"

3.3.1.3. Etil alkol-su sisteminde taşıyıcı elektrolit olarak sodyum klorür kullanıldığında ve BDPPCA'nın $4,44 \cdot 10^{-4}$ mol/l konsantrasyonunda çalışıldığında elde edilen polarogramlar, çalışma koşulları ve veriler (Şekil 3a-3b; Tablo 3)'de gösterilmiştir.



Şekil 3a : Etil alkol-su sisteminde (Taşıyıcı elektrolit olarak sodyum klorür kullanıldığında) $4,44 \cdot 10^{-4}$ mol/l konsantrasyonundaki BDPPCA'nın elde edilen polaroqramları.

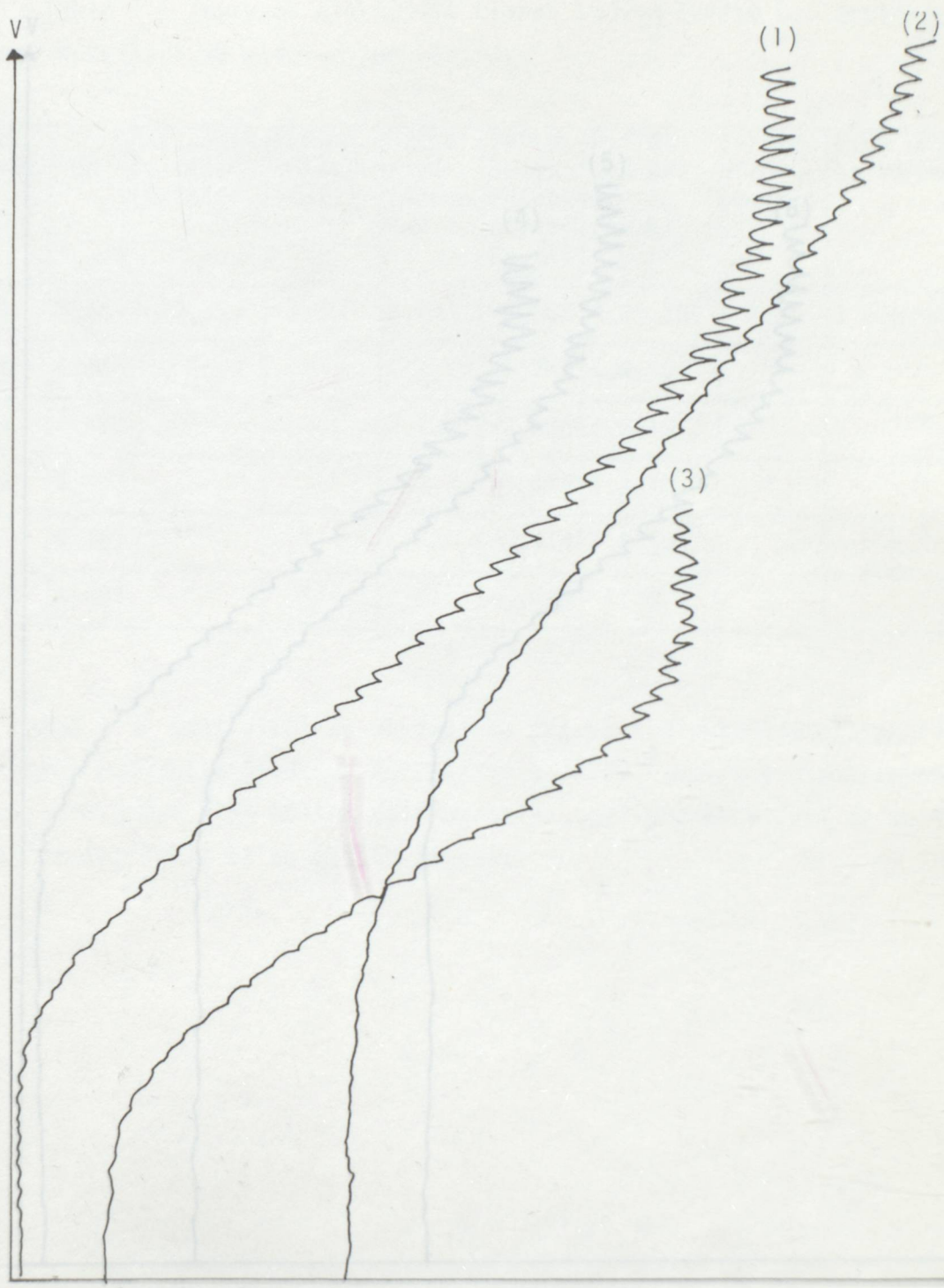


Şekil 3b : Etil alkol-su sisteminde (Taşıyıcı elektrolit olarak sodyum klorür kullanıldığında) $4,44 \cdot 10^{-4}$ mol/l konsantrasyonundaki BDPPCA'nın elde edilen polarogramları.

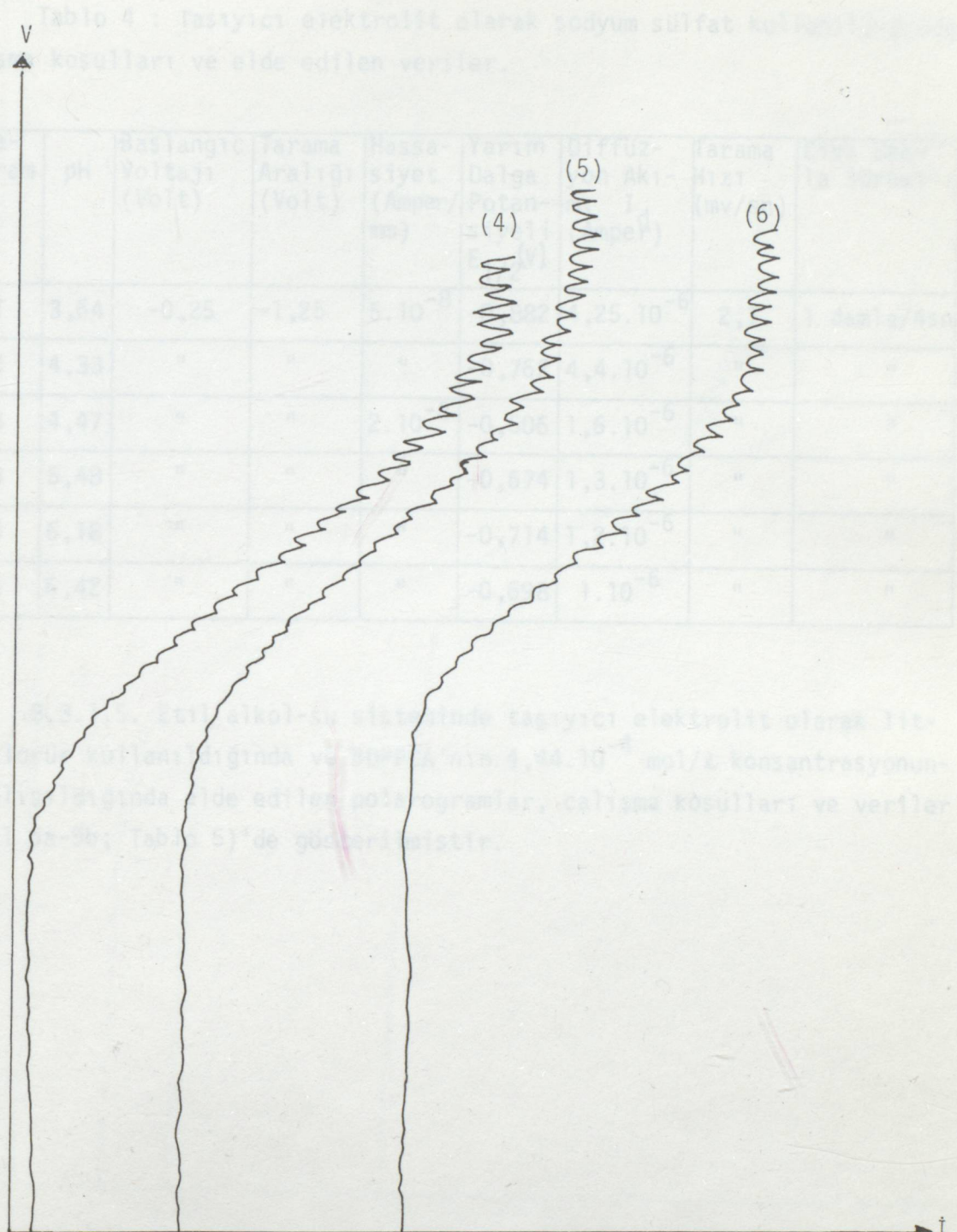
Tablo 3 : Taşıyıcı elektrolit olarak sodyum klorür kullanıldığından çalışma koşulları ve elde edilen veriler.

Polarogram No.	pH	Başlangıç Voltajı (Volt)	Tarama Aralığı (Volt)	Hassasiyet (Amper/mm)	Yarım Dalga Potansiyeli $E_{1/2}$ (V)	Diffüzyon Akımı I_d (Amper)	Tarama Hızı (mv/sn)	Civa Damla Süresi
1	3,35	-0,75	-1,75	$2 \cdot 10^{-8}$	-1,070	$2,06 \cdot 10^{-6}$	2,7	1 damla/4sn
2	3,95	"	"	"	-1,102	$1,98 \cdot 10^{-6}$	"	"
3	4,5	"	"	"	-1,014	$1,46 \cdot 10^{-6}$	"	"
4	4,95	"	"	"	-1,190	$1,34 \cdot 10^{-6}$	"	"
5	5,88	"	"	"	-1,254	$1,2 \cdot 10^{-6}$	"	"
6	7,00	"	"	"	-1,302	$0,9 \cdot 10^{-6}$	"	"
7	7,43	"	"	"	-1,326	$0,64 \cdot 10^{-6}$	"	"

3.3.1.4. Etil alkol-su sisteminde taşıyıcı elektrolit olarak sodyum sülfat kullanıldığında ve BDPPCA'nın $4,44 \cdot 10^{-4}$ mol/l konsantrasyonunda çalışıldılığında elde edilen polarogramlar, çalışma koşulları ve veriler (Şekil 4a-4b; Tablo 4) de gösterilmiştir.



Şekil 4a : Etil alkol-su sisteminde (Taşıyıcı elektrolit olarak sodyum sülfat kullanıldığında) $4,44 \cdot 10^{-4}$ mol/l konsantrasyonundaki BDPPCA'nın elde edilen polarogramları.



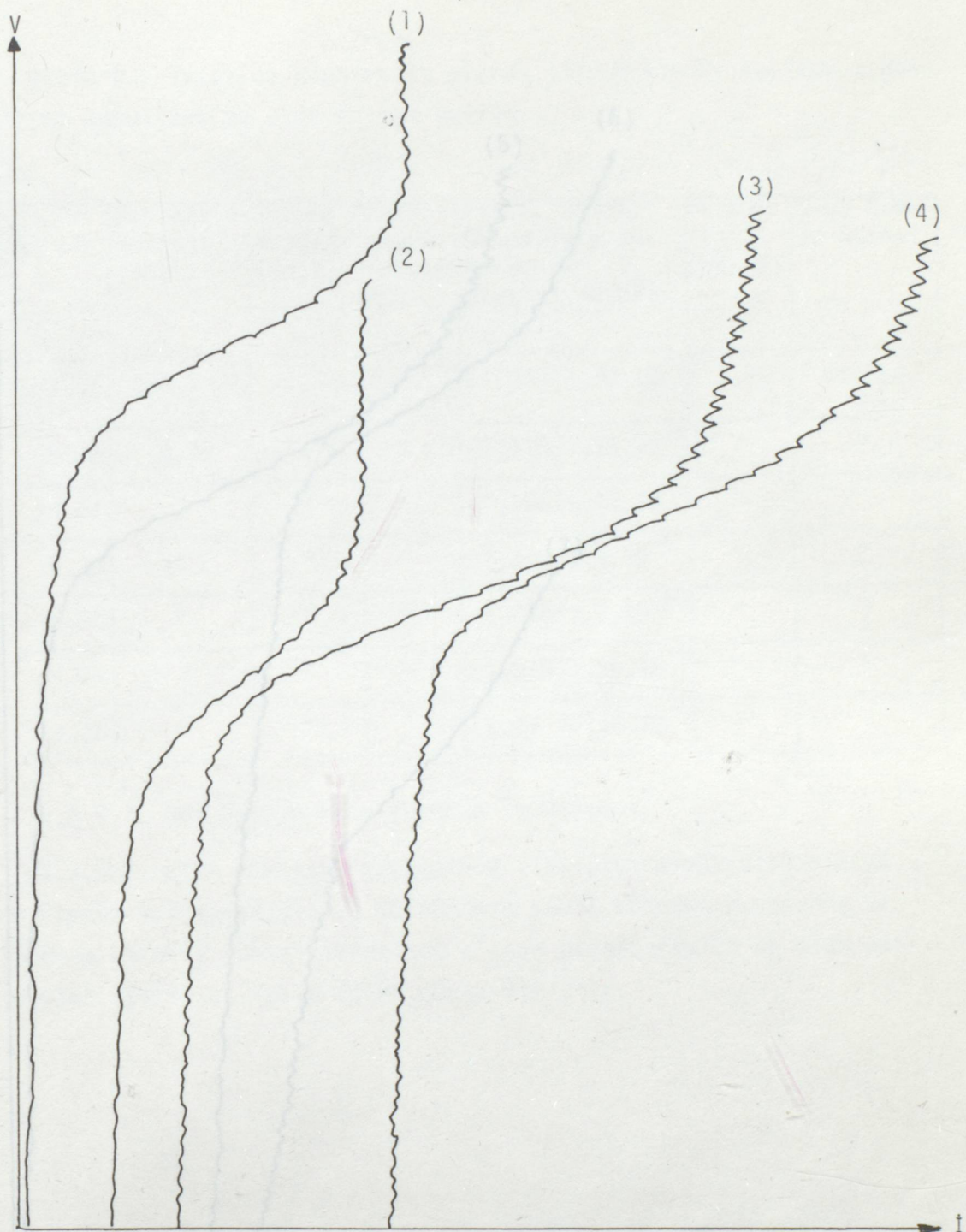
Şekil 4b : Etil alkol-su sisteminde (Taşıyıcı elektrolit olarak Sodiyum sülfat kullanıldığında) $4,44 \cdot 10^{-4}$ mol/l konsantrasyonundaki BDPPCA'nın elde edilen polarogramları.

Tablo 4 : Taşıyıcı elektrolit olarak sodyum sülfat kullanıldığında çalışma koşulları ve elde edilen veriler.

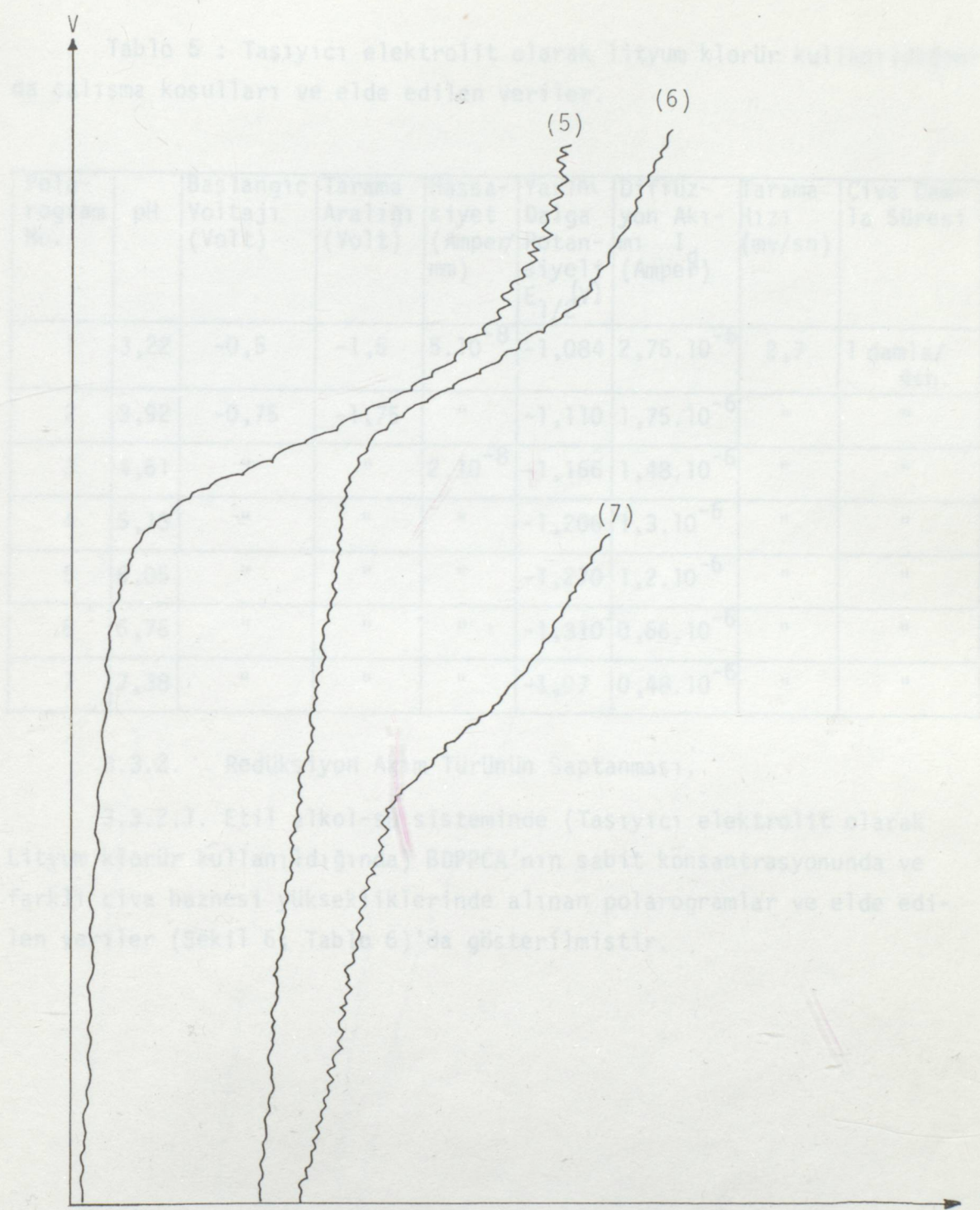
Pola- rogram No.	pH	Başlangıç Voltajı (Volt)	Tarama Aralığı (Volt)	Hassa- siyet (Amper/ mm)	Yarım Dalga Potan- siyeli $E_{1/2}$ (V)	Diffüz- yon Akı- mı I (Amper)	Tarama Hızı (mv/sn)	Civa Dam- la Süresi
1	3,64	-0,25	-1,25	$5 \cdot 10^{-8}$	-0,882	$4,25 \cdot 10^{-6}$	2,7	1 damla/4sn
2	4,33	"	"	"	-0,762	$4,4 \cdot 10^{-6}$	"	"
3	4,47	"	"	$2 \cdot 10^{-8}$	-0,506	$1,6 \cdot 10^{-6}$	"	"
4	5,48	"	"	"	-0,674	$1,3 \cdot 10^{-6}$	"	"
5	6,18	"	"	"	-0,714	$1,2 \cdot 10^{-6}$	"	"
6	6,42	"	"	"	-0,698	$1 \cdot 10^{-6}$	"	"

3.3.1.5. Etil alkol-su sisteminde taşıyıcı elektrolit olarak litium klorür kullanıldığında ve BDPPCA'nın $4,44 \cdot 10^{-4}$ mol/l konsantrasyonunda çalışıldığında elde edilen polarogramlar, çalışma koşulları ve veriler (Şekil 5a-5b; Tablo 5)'de gösterilmiştir.

Sekil 5a : Etil alkol-su sisteminde Litium Klorür ($4,44 \cdot 10^{-4}$ mol/l) kullanıldığında elde edilen polarogramlar



Şekil 5a : Etil alkol-su sisteminde (Taşıyıcı elektrolit olarak lityum klorür kullanıldığında) $4,44 \cdot 10^{-4}$ mol/l konsantrasyonundaki BDPPCA'nın elde edilen polarogramları



Şekil 5b : Etil alkol-su sisteminde (Taşıyıcı elektrolit olarak Lityum klorür kullanıldığından) $4.44 \cdot 10^{-4}$ mol/l konsantrasyonundaki BDPPCA'nın elde edilen polarogramları.

Tablo 5 : Taşıyıcı elektrolit olarak lityum klorür kullanıldığından çalışma koşulları ve elde edilen veriler.

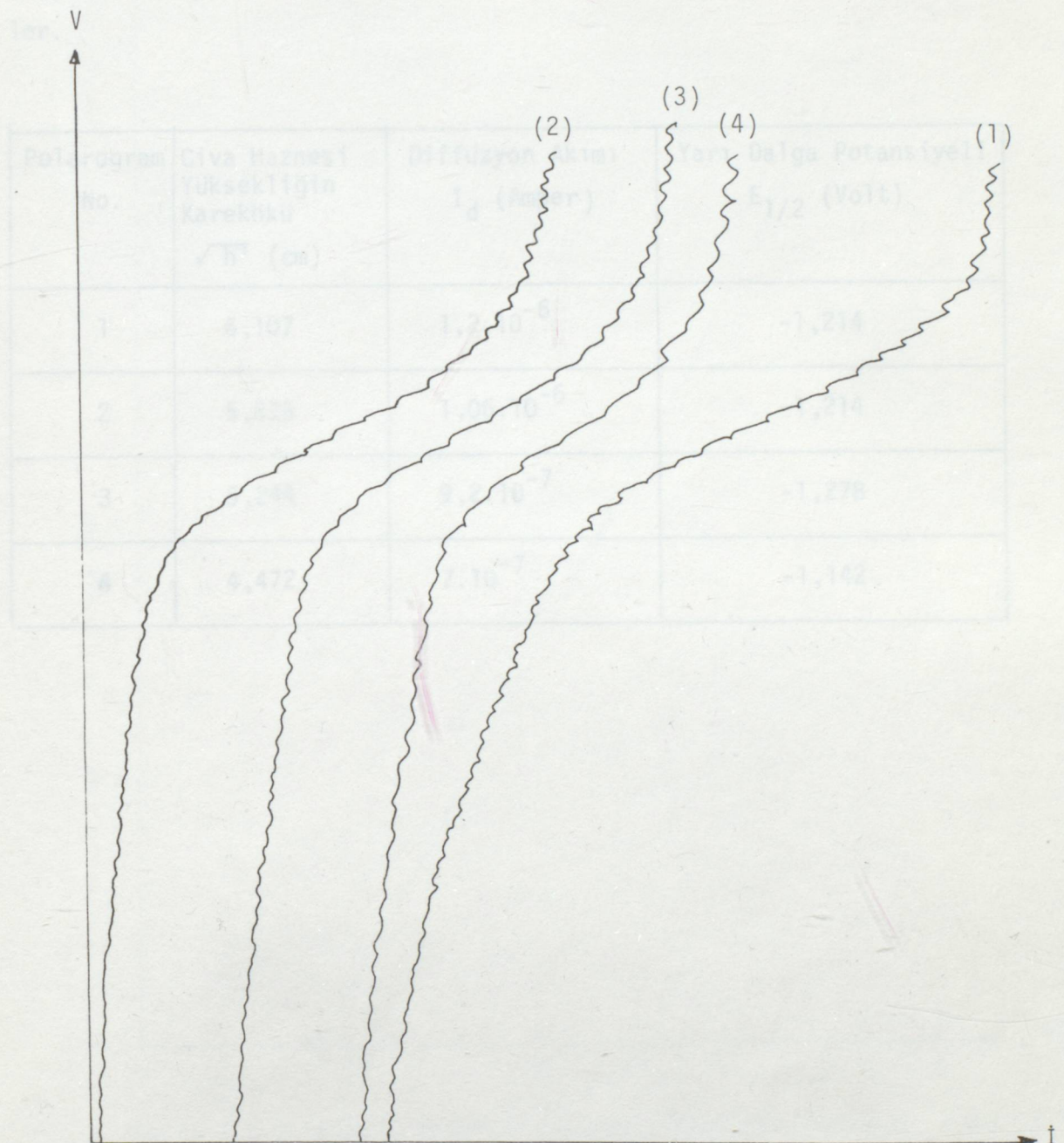
Pola- rogram No.	pH	Başlangıç Voltajı (Volt)	Tarama Aralığı (Volt)	Hassa- siyet (Amper/ mm)	Yarım Dalga Potan- siyeli $E_{1/2}$ (V)	Diffüz- yon Akı- mı I (Amper)	Tarama Hızı (mv/sn)	Civa Dam- la Süresi
1	3,22	-0,5	-1,5	$5 \cdot 10^{-8}$	-1,084	$2,75 \cdot 10^{-6}$	2,7	1 damla/ 4sn.
2	3,92	-0,75	-1,75	"	-1,110	$1,75 \cdot 10^{-6}$	"	"
3	4,61	"	"	$2 \cdot 10^{-8}$	-1,166	$1,48 \cdot 10^{-6}$	"	"
4	5,13	"	"	"	-1,206	$1,3 \cdot 10^{-6}$	"	"
5	6,05	"	"	"	-1,270	$1,2 \cdot 10^{-6}$	"	"
6	6,75	"	"	"	-1,310	$0,66 \cdot 10^{-6}$	"	"
7	7,38	"	"	"	-1,07	$0,48 \cdot 10^{-6}$	"	"

3.3.2. Redüksiyon Akım Türünün Saptanması.

3.3.2.1. Etil alkol-su sisteminde (Taşıyıcı elektrolit olarak Lityum klorür kullanıldığından) BDPPCA'nın sabit konsantrasyonunda ve farklı civa hıznesi yüksekliklerinde alınan polarogramlar ve elde edilen veriler (Şekil 6; Tablo 6)'da gösterilmiştir.

Şekil 6 : Etil alkol-su sisteminde (Taşıyıcı elektrolit olarak Lityum klorür kullanıldığından) BDPPCA'nın sabit konsantrasyonunda ve farklı civa hıznesi yüksekliklerinde alınan polarogramlar.

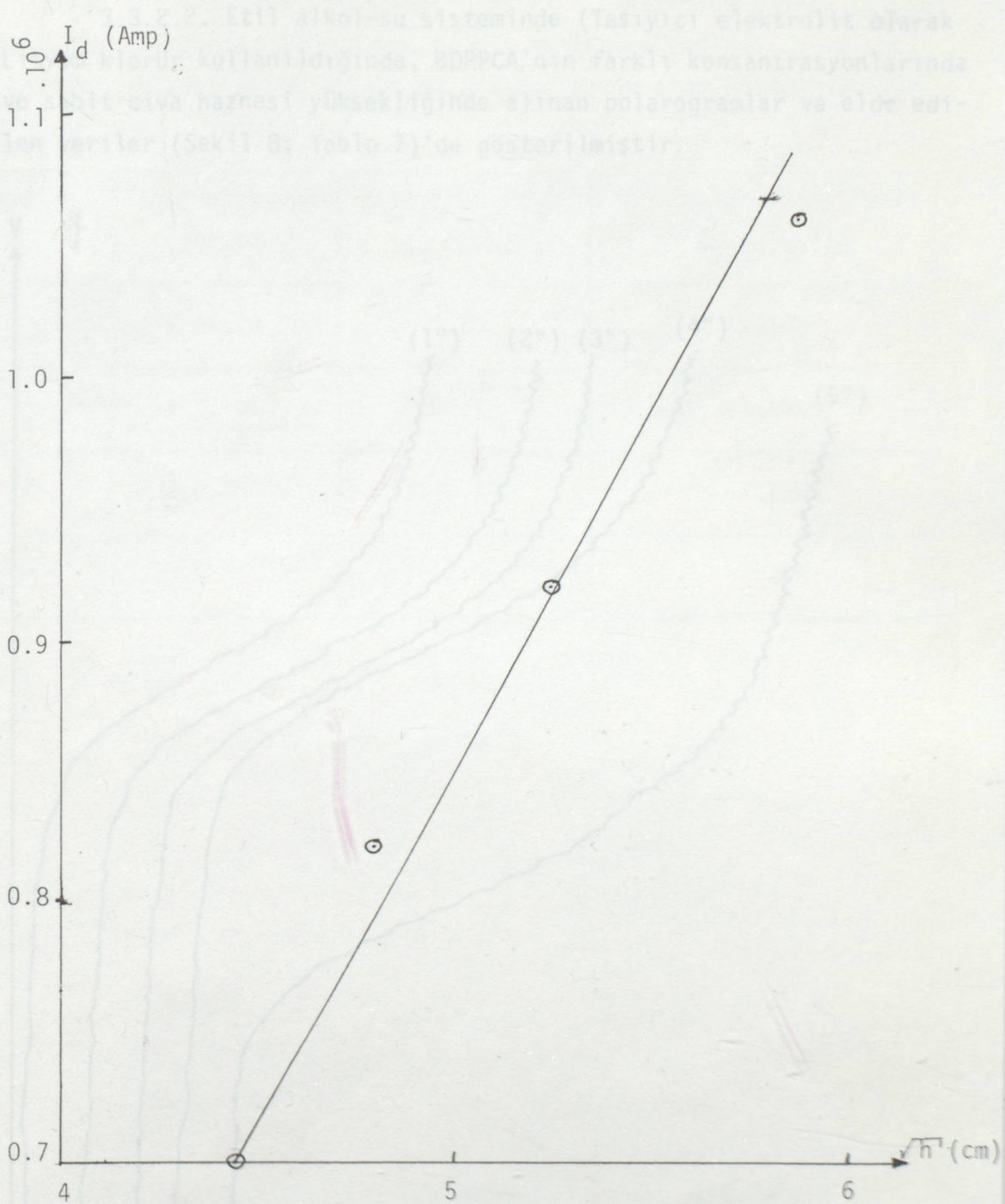
Tablo 6 : Alkol-su sisteminde (Taşıyıcı elektrolit olarak Lityum klorür kullanıldığında) BDPPCA'nın sabit konsantrasyonunda ve farklı civa hiznesi yüksekliklerinde alınan polarogramlardan elde edilen sonuçlar.



Şekil 6 : Etil alkol-su sisteminde (Taşıyıcı elektrolit olarak Lityum klorür kullanıldığında) BDPPCA'ının sabit konsantrasyonunda ve farklı civa hiznesi yüksekliklerinde alınan polarogramlar.

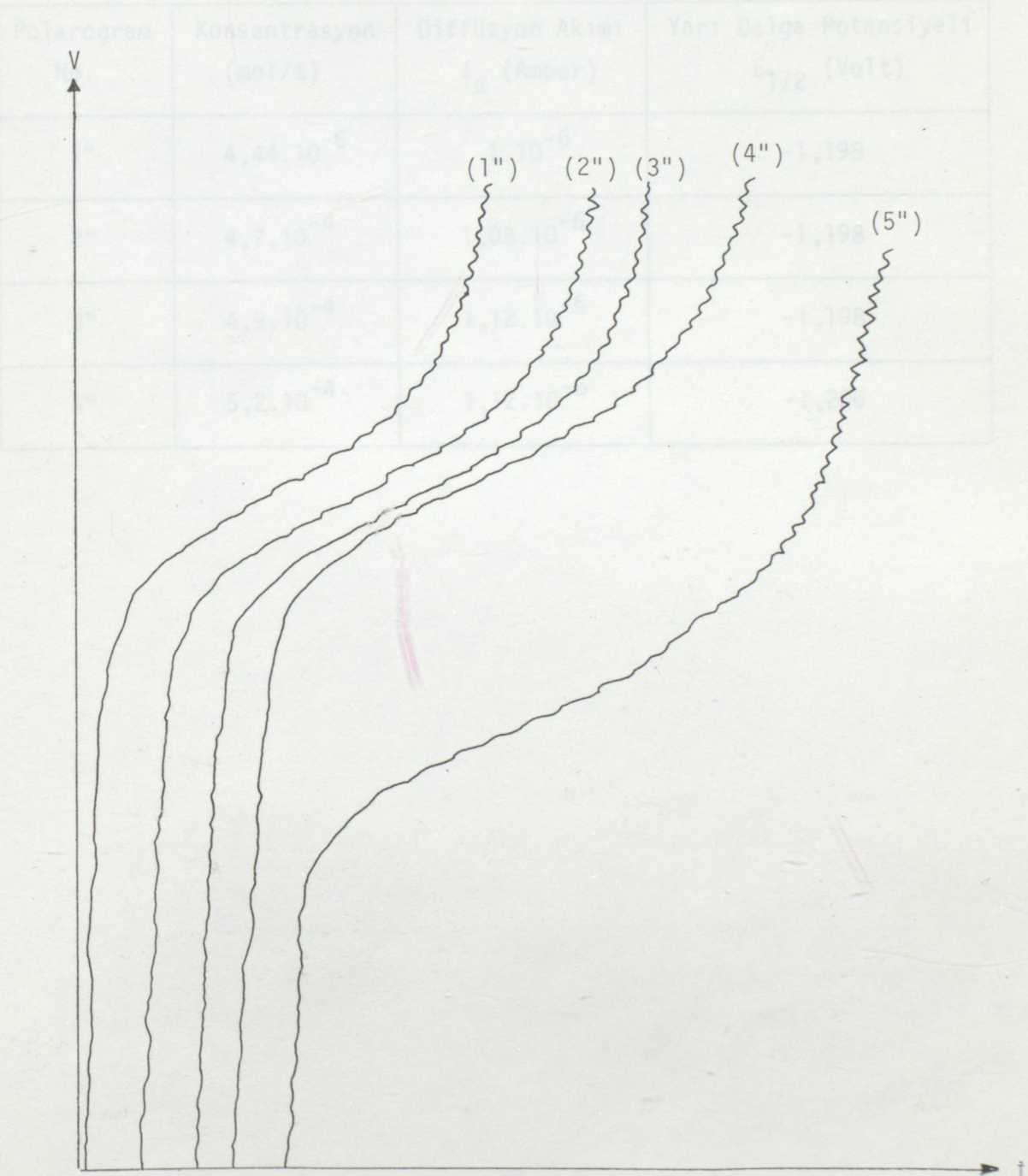
Tablo 6 : Alkol-su sisteminde (Taşıyıcı elektrolit olarak Lityum klorür kullanıldığından) BDPPCA'nın sabit konsantrasyonunda ve farklı civa haznesi yüksekliklerinde alınan polarogramlardan elde edilen veriler.

Polarogram No.	Civa Haznesi Yüksekliğin Karekökü $\sqrt{h^1}$ (cm)	Diffüzyon Akımı I_d (Amper)	Yarı Dalga Potansiyeli $E_{1/2}$ (Volt)
1	6,107	$1,2 \cdot 10^{-6}$	-1,214
2	5,873	$1,06 \cdot 10^{-6}$	-1,214
3	5,244	$9,2 \cdot 10^{-7}$	-1,278
4	4,472	$7 \cdot 10^{-7}$	-1,142



Şekil 7 : Diffüzyon (BDPPCA'nın sabit konsantrasyonunda, $4,44 \cdot 10^{-4}$ mol/l) civa haznesi yüksekliğinin karekökü ile değişimi. (Tablo 6'daki verilerle çizilmiştir.)

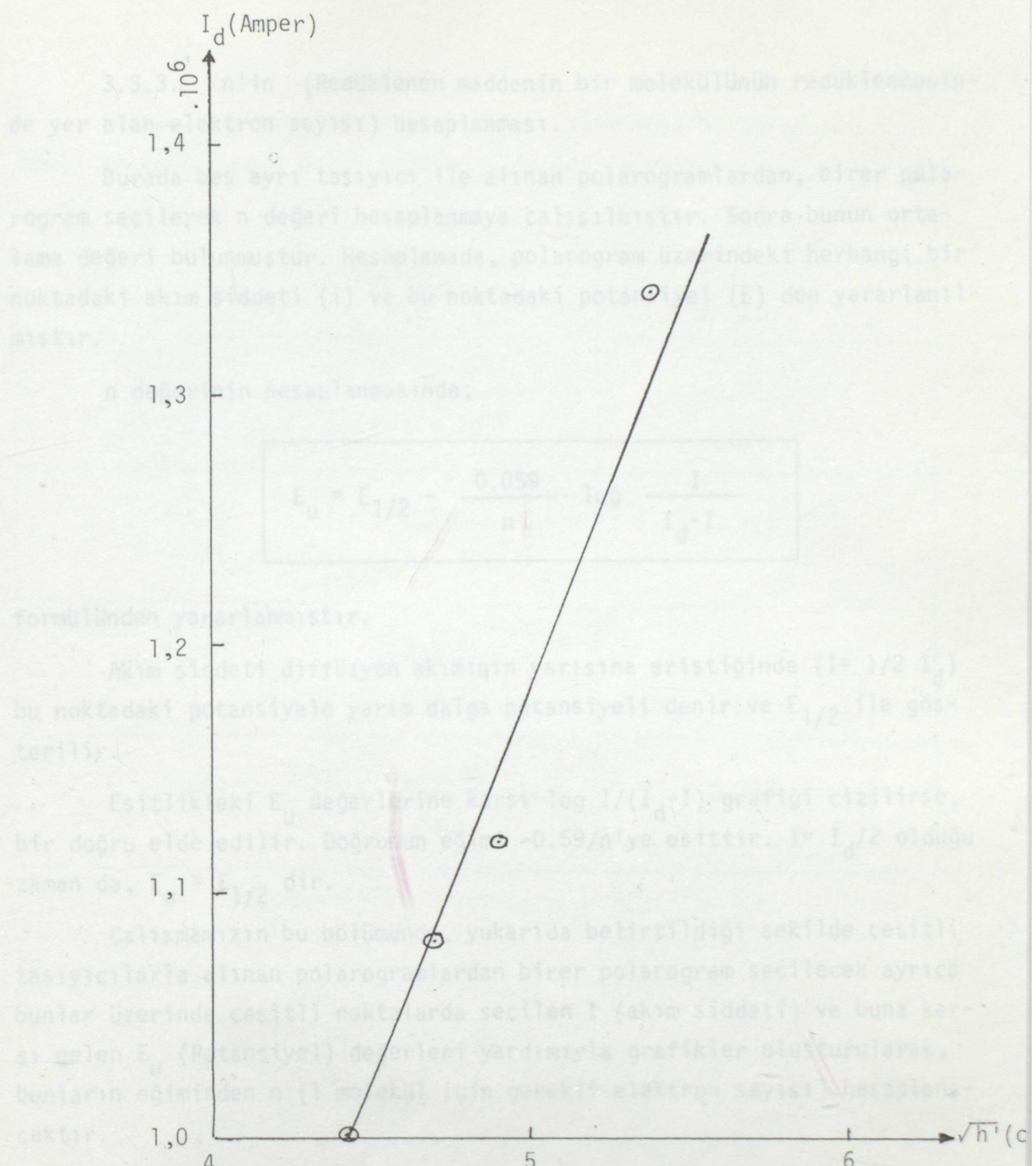
3.3.2.2. Etil alkol-su sisteminde (Taşıyıcı elektrolit olarak Lityum klorür kullanıldığında, BDPPCA'nın farklı konsantrasyonlarında ve sabit civa haznesi yüksekliğinde alınan polarogramlar ve elde edilen veriler (Şekil 8; Tablo 7)'de gösterilmiştir.



Şekil 8 : Etil alkol-su sisteminde (Taşıyıcı elektrolit olarak Lityum klorür kullanıldığında) BDPPCA'nın farklı konsantrasyonlarında ve sabit civa haznesi yüksekliğinde elde edilen polarogramlar.

Tablo 7 : Alkol-su sisteminde (Taşıyıcı elektrolit olarak Lityum klorür kullanıldığında) BDPPCA'nın farklı konsantrasyonlarında ve sabit cıva hıznesi yüksekliğinde alınan polarogramlardan elde edilen veriler.

Polarogram No.	Konsantrasyon (mol/l)	Diffüzyon Akımı I_d (Amper)	Yarı Dalga Potansiyeli $E_{1/2}$ (Volt)
1"	$4,44 \cdot 10^{-6}$	$1 \cdot 10^{-6}$	-1,198
2"	$4,7 \cdot 10^{-4}$	$1,08 \cdot 10^{-6}$	-1,198
3"	$4,9 \cdot 10^{-4}$	$1,12 \cdot 10^{-6}$	-1,198
4"	$5,2 \cdot 10^{-4}$	$1,12 \cdot 10^{-6}$	-1,206



Şekil 9 : Diffüzyon akımının, BDPPCA'nın konsantrasyonu ile değişimi (Tablo 7'deki verilerle çizilmiştir.)

3.3.3. n 'in (Redüklenen maddenin bir molekülünün redüklelenmesinde yer alan elektron sayısı) hesaplanması.

Burada beş ayrı taşıyıcı ile alınan polarogramlardan, birer polarogram seçilerek n değeri hesaplanmaya çalışılmıştır. Sonra bunun ortalaması değeri bulunmuştur. Hesaplama, polarogram üzerindeki herhangi bir noktadaki akım şiddeti (i) ve bu noktadaki potansiyel (E) den yararlanılmıştır.

n değerinin hesaplanması;

$$E_u = E_{1/2} - \frac{0.059}{n} \log \frac{I}{I_d - I}$$

formülünden yararlanmıştır.

Akım şiddeti diffüzyon akımının yarısına eriştiğinde ($i = 1/2 i_d$) bu noktadaki potansiyele yarınlalga potansiyeli denir ve $E_{1/2}$ ile gösterilir.

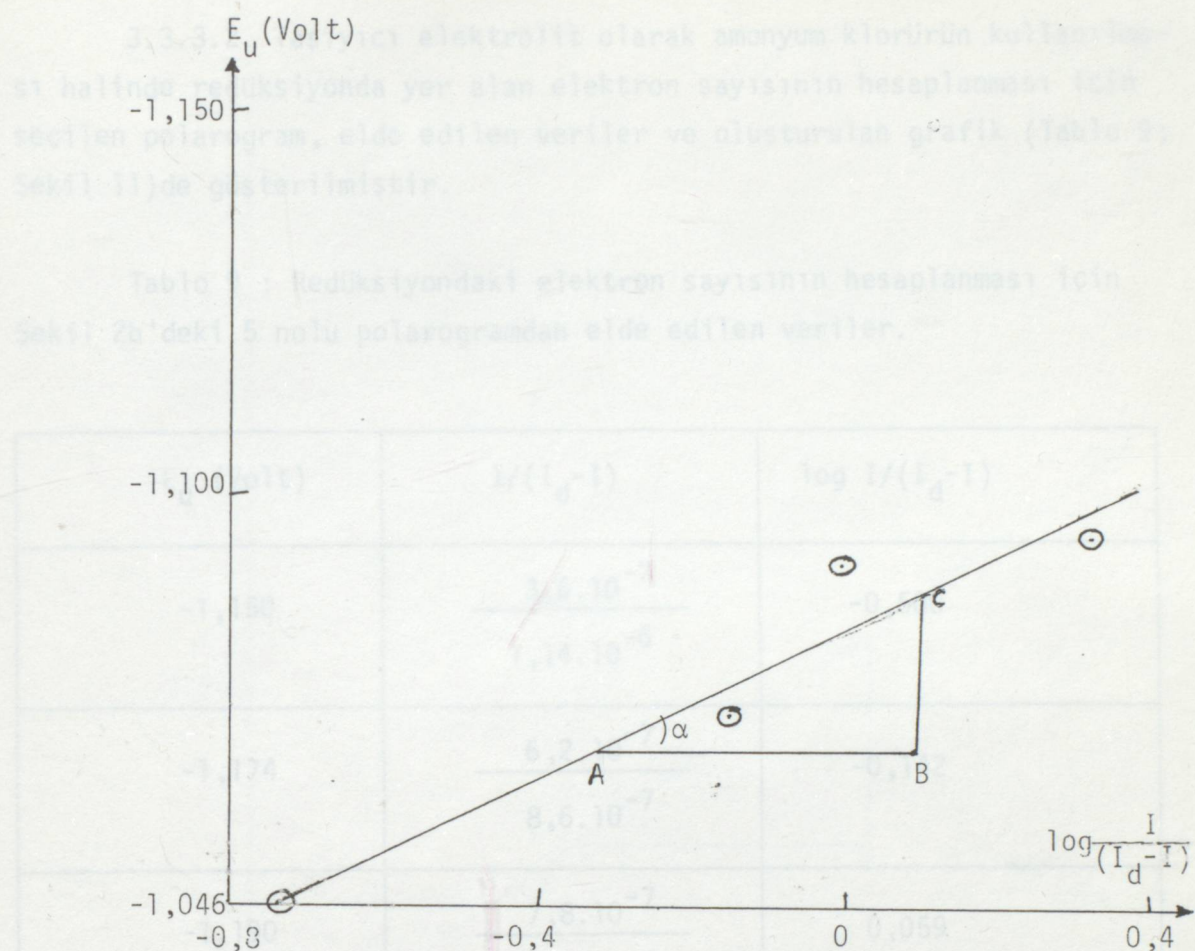
Eşitlikteki E_u değerlerine karşı $\log I/(I_d - I)$ grafiği çizilirse, bir doğru elde edilir. Doğrunun eğimi $-0.59/n$ 'ye eşittir. $I = I_d/2$ olduğu zaman da, $E_u = E_{1/2}$ dir.

Çalışmamızın bu bölümünde, yukarıda belirtildiği şekilde çeşitli taşıyıcılarla alınan polarogramlardan birer polarogram seçilecek ayrıca bunlar üzerinde çeşitli noktalarda seçilen i (akım şiddeti) ve buna karşı gelen E_u (Potansiyel) değerleri yardımıyla grafikler oluşturulularak, bunların eğiminden n (1 molekül için gerekli elektron sayısı) hesaplanacaktır.

3.3.3.1. Taşıyıcı elektrolit olarak Sodyum nitratın seçilmesi haliinde reduksiyonda yer alan elektron sayısının hesaplanması için seçilen polarogram, elde edilen veriler ve oluşturulan grafik (Tablo 8; Şekil 10) da gösterilmiştir.

Tablo 8 : Redüksiyondaki elektron sayısının hesaplanması için
Şekil 1'a'daki 2 nolu polarogramdan elde edilen veriler.

E_u (Volt)	$I/(I_d - I)$	$\log I(I_d - I)$
-1,046	$\frac{3 \cdot 10^{-7}}{1,6 \cdot 10^{-6}}$	-0,727
-1,070	$\frac{6 \cdot 10^{-7}}{8,5 \cdot 10^{-7}}$	-0,151
-1,090	$\frac{9,5 \cdot 10^{-7}}{9,5 \cdot 10^{-7}}$	0
-1,094	$\frac{1,25 \cdot 10^{-6}}{6 \cdot 10^{-7}}$	0,318



Şekil 10 : Taşıyıcı elektrolit olarak sodyum nitratın kullanılması halinde reduksiyonda yer alan elektron sayısının hesaplanması.
(Şekil, Tablo 8'deki verilerle çizilmiştir.)

n (elektron sayısı)in hesaplanması.

$$\text{Eğim} = \operatorname{tg}\alpha = \frac{|CB|}{|AB|} = \frac{-0,059}{n} = \frac{-1,086 - (-1,066)}{0,10 - (-0,31)} = \frac{-0,02}{0,41}$$

$$\Rightarrow n = \frac{-0,059 \cdot 0,41}{-0,02} = 1,21$$

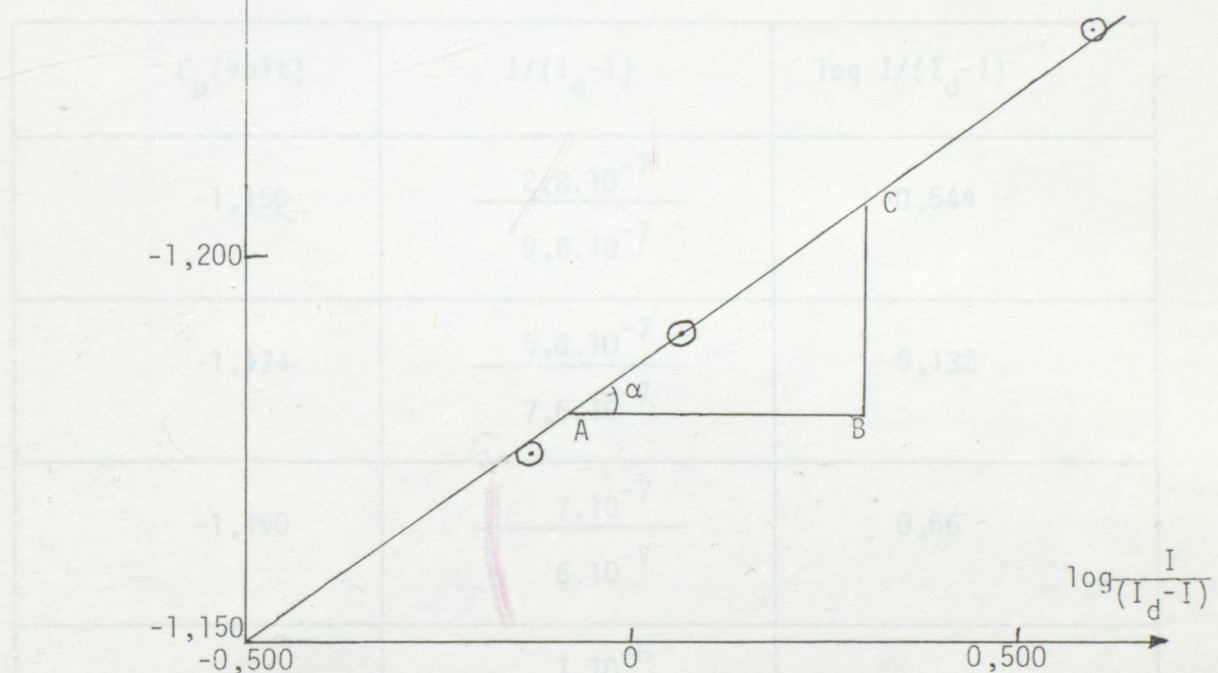
3.3.3.2. Taşıyıcı elektrolit olarak amonyum klorürün kullanılması halinde redüksiyonda yer alan elektron sayısının hesaplanması için seçilen polarogram, elde edilen veriler ve oluşturulan grafik (Tablo 9; Şekil 11)de gösterilmiştir.

Tablo 9 : Redüksiyondaki elektron sayısının hesaplanması için Şekil 2b'deki 5 nolu polarogramdan elde edilen veriler.

E_u (Volt)	$I/(I_d - I)$	$\log I/(I_d - I)$
-1,150	$\frac{3,6 \cdot 10^{-7}}{1,14 \cdot 10^{-6}}$	-0,500
-1,174	$\frac{6,2 \cdot 10^{-7}}{8,6 \cdot 10^{-7}}$	-0,142
-1,190	$\frac{7,8 \cdot 10^{-7}}{6,8 \cdot 10^{-7}}$	0,059
-1,230	$\frac{1,2 \cdot 10^{-6}}{3 \cdot 10^{-7}}$	0,602

3a.3.1 E_u (Volt) : elektrolit olarak sodyum klorürün kullanılması halinde redüksiyonda yer alan elektron sayısının hesaplanması için sağlanan polarogram, elde edilen veriler ve oluşturulan grafik (Tablo 10, Şekil 12) de gösterilmiştir.

Şekil 30'daki redüksiyondaki elektron sayısının hesaplanması için Şekil 30'daki nolu polarogramdan elde edilen veriler.



Şekil 11 : Taşıyıcı elektrolit olarak amonyum klorürün kullanılması halinde redüksiyonda yer alan elektron sayısının hesaplanması.
(Tablo 9'daki verilerle çizilmiştir).

n (elektron sayısı) in hesaplanması.

$$\text{Eğim} = \tan \alpha = \frac{|BC|}{|AB|} = \frac{-0,059}{n} = \frac{-1,207 - (-1,180)}{0,300 - (-0,070)} = \frac{-0,027}{0,37}$$

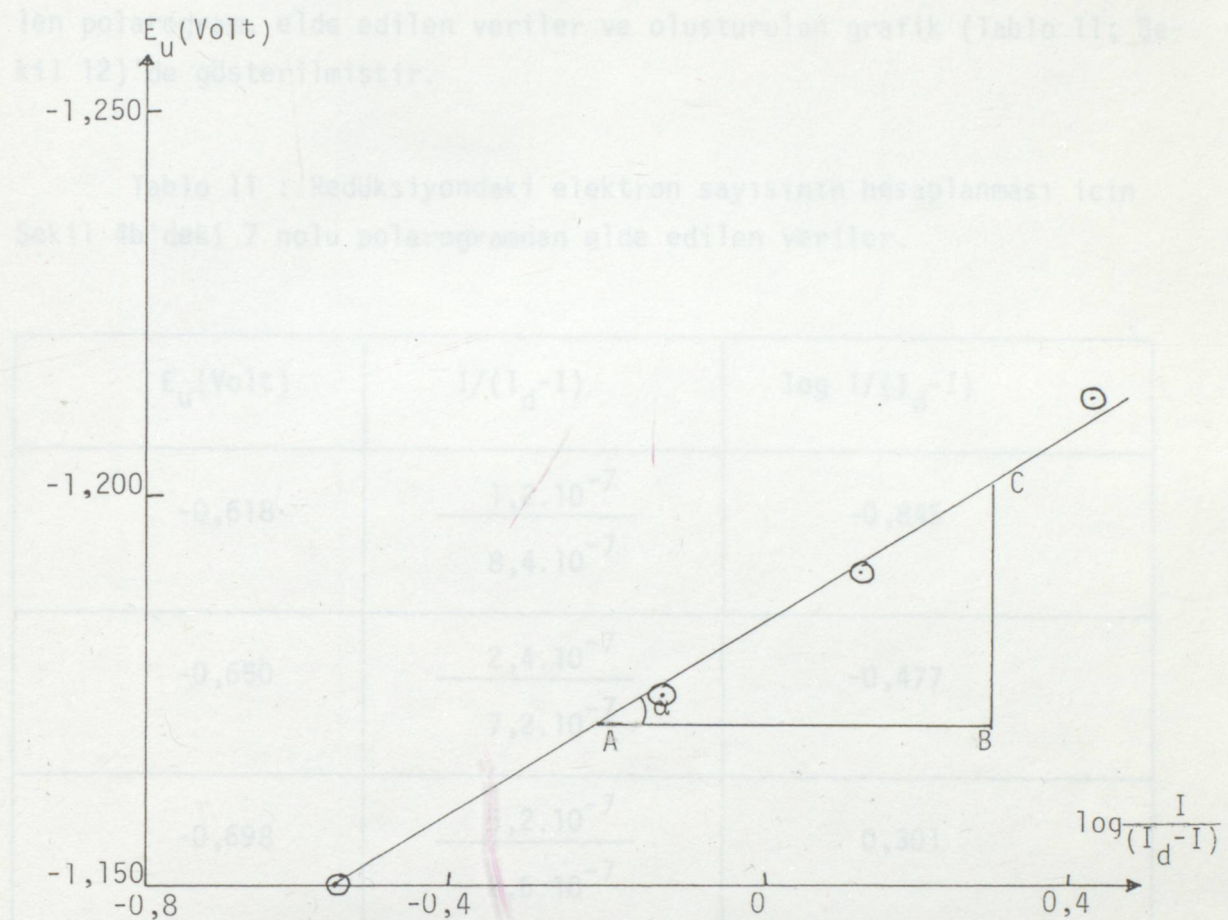
$$\Rightarrow n = \frac{-0,059 \cdot 0,37}{-0,027} \approx 0,81$$

3.3.3.3. Taşıyıcı elektrolit olarak sodyum klorürün kullanılması halinde redüksiyonda yer alan elektron sayısının hesaplanması için seçilen polarogram, elde edilen veriler ve oluşturulan grafik (Tablo 10; Şekil 12) de gösterilmiştir.

Tablo 10 : Redüksiyondaki elektron sayısının hesaplanması için Şekil 3b'deki 4 nolu polarogramdan elde edilen veriler.

E_u (Volt)	$I/(I_d - I)$	$\log I/(I_d - I)$
-1,150	$\frac{2,8 \cdot 10^{-7}}{9,8 \cdot 10^{-7}}$	-0,544
-1,174	$\frac{5,6 \cdot 10^{-7}}{7,6 \cdot 10^{-7}}$	-0,132
-1,190	$\frac{7 \cdot 10^{-7}}{6 \cdot 10^{-7}}$	0,66
-1,214	$\frac{1 \cdot 10^{-6}}{3,6 \cdot 10^{-7}}$	0,443
-1,230	$\frac{1,14 \cdot 10^{-6}}{2 \cdot 10^{-7}}$	0,755

3A3.324. Taşıyıcı elektrolit olarak sodyum sulfatının kullanılması halinde redüksiyonda yer alan elektron sayısının hesaplanması için Tablo 10'daki verilerle çizilmiştir.



Şekil 12 : Taşıyıcı elektrolit olarak sodyum klorürün kullanılması halinde redüksiyonda yer alan elektron sayısının hesaplanması (Tablo 10'daki verilerle çizilmiştir.)

n (elektron sayısı)'in hesaplanması :

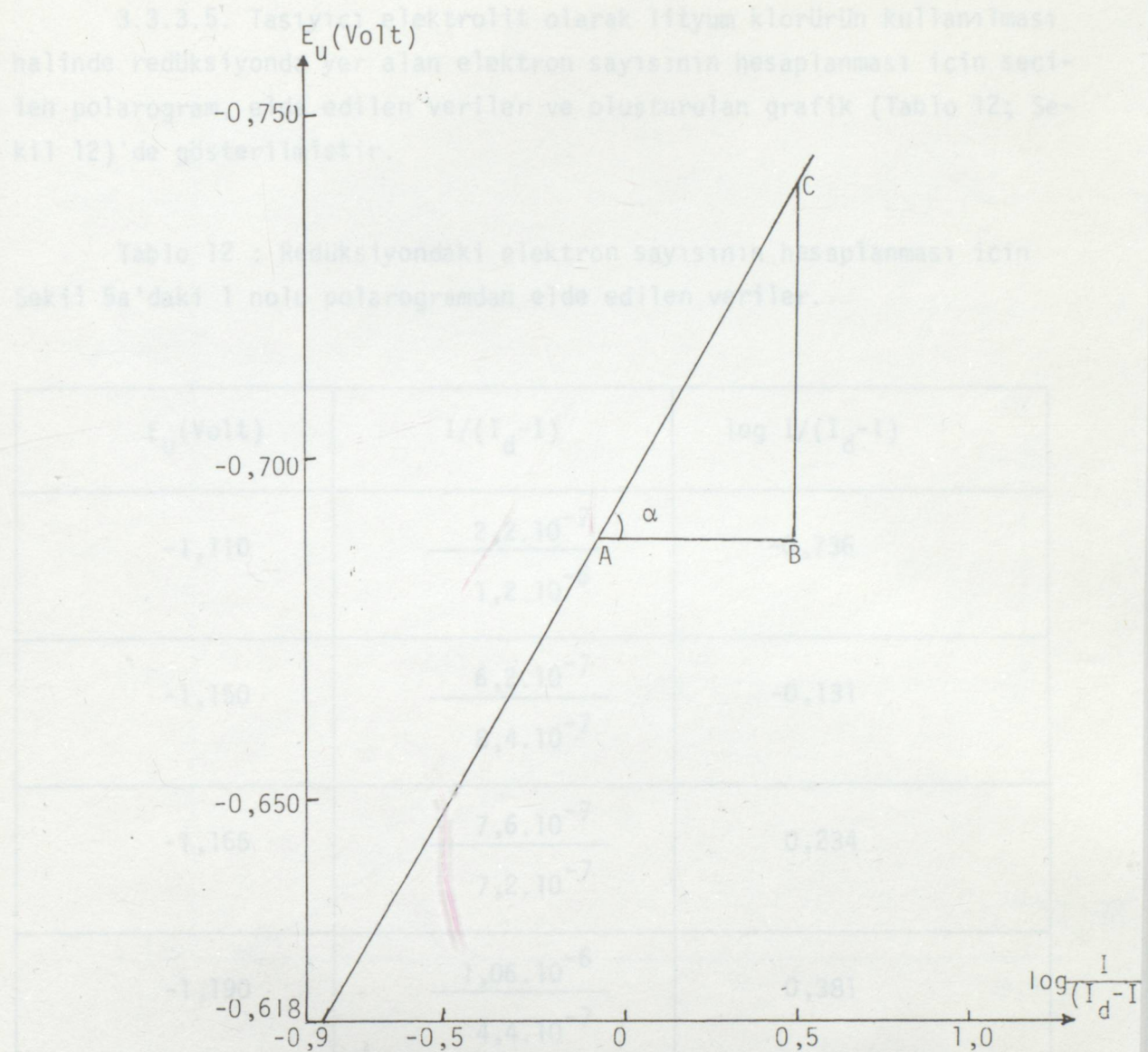
$$\text{Eğim} = \operatorname{tg} \alpha = \frac{|CB|}{|AB|} = \frac{-0,059}{n} = \frac{-1,204 - (-1,170)}{0,300 - (-0,230)} \Rightarrow$$

$$n = \frac{-0,059 \cdot 0,53}{-0,034} \approx 0,92$$

3.3.3.4. Taşıyıcı elektrolit olarak sodyum sülfatın kullanılması halinde reduksiyonda yer alan elektron sayısının hesaplanması için seçilen polarogram, elde edilen veriler ve oluşturulan grafik (Tablo 11; Şekil 12)'de gösterilmiştir.

Tablo 11 : Redüksiyondaki elektron sayısının hesaplanması için Şekil 4b'deki 7 nolu polarogramdan elde edilen veriler.

E_u (Volt)	$I/(I_d - I)$	$\log I/(I_d - I)$
-0,618	$\frac{1,2 \cdot 10^{-7}}{8,4 \cdot 10^{-7}}$	-0,845
-0,650	$\frac{2,4 \cdot 10^{-7}}{7,2 \cdot 10^{-7}}$	-0,477
-0,698	$\frac{5,2 \cdot 10^{-7}}{2,6 \cdot 10^{-7}}$	0,301
-0,730	$\frac{7,2 \cdot 10^{-7}}{2,8 \cdot 10^{-7}}$	0,410
-0,786	$\frac{8,4 \cdot 10^{-7}}{1,8 \cdot 10^{-7}}$	0,669



Şekil 13 : Taşıyıcı elektrolit olarak sodyum sülfatının kullanılması halinde redüksiyonda yer alan elektron sayısının hesaplanması (Tablo 11'deki verilerle çizilmiştir.)

n (elektron sayısı)'in hesaplanması:

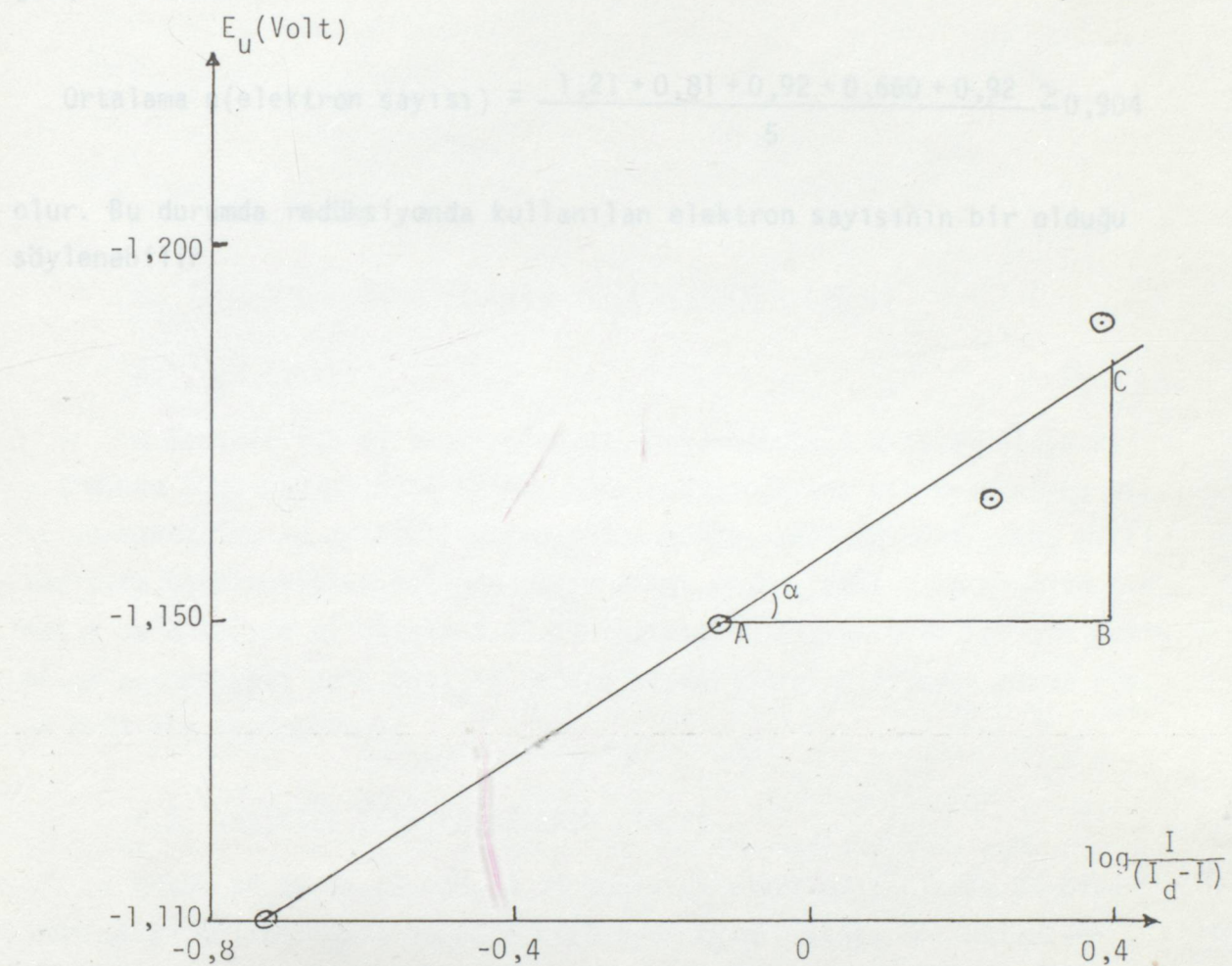
$$\begin{aligned} \text{Eğim} = \tan \alpha &= \frac{|BC|}{|AB|} = \frac{-0,059}{n} = \frac{-0,738 - (-0,638)}{0,5 - (-0,06)} \\ &= \frac{-0,05}{0,56} \Rightarrow n = \frac{-0,059 \cdot 0,56}{-0,05} = 0,660 \end{aligned}$$

3.3.3.5. Taşıyıcı elektrolit olarak lityum klorürün kullanılması halinde reduksiyonda yer alan elektron sayısının hesaplanması için seçilen polarogram, elde edilen veriler ve oluşturulan grafik (Tablo 12; Şekil 12)'de gösterilmiştir.

Tablo 12 : Redüksiyondaki elektron sayısının hesaplanması için Şekil 5a'daki 1 nolu polarogramdan elde edilen veriler.

E_u (Volt)	$I/(I_d - I)$	$\log I/(I_d - I)$
-1,110	$\frac{2,2 \cdot 10^{-7}}{1,2 \cdot 10^{-6}}$	-0,736
-1,150	$\frac{6,2 \cdot 10^{-7}}{8,4 \cdot 10^{-7}}$	-0,131
-1,166	$\frac{7,6 \cdot 10^{-7}}{7,2 \cdot 10^{-7}}$	0,234
-1,190	$\frac{1,06 \cdot 10^{-6}}{4,4 \cdot 10^{-7}}$	0,381

(Şekil 1a-2b-3b-4b-5a) polarogramlarından yararlanarak hesaplanan ve reduksiyonda kullanılan elektron sayısının hesaplanması aşağıda gösterilmektedir.



Şekil 14 : Taşıyıcı elektrolit olarak lityum klorür kullanılması halinde reduksiyonda yer alan elektron sayısının hesaplanması (Tablo 12'deki verilerle çizilmiştir.)

n (elektron sayısı)'in hesaplanması :

$$\text{Eğim} = \tan \alpha = \frac{|CB|}{|AB|} = \frac{-0,059}{n} = \frac{-1,184 - (-1,150)}{0,400 - (-0,130)} = \frac{-0,034}{0,530}$$

$$\Rightarrow n = \frac{-0,059 \cdot 0,530}{(-0,034)} = 0,92$$

(Şekil 1a-2b-3b-4b-5a) polarogramlarından yararlanarak hesaplanan ve reduksiyonda kullanılan elektron sayısının hesaplanması aşağıda gösterilmiştir.

$$\text{Ortalama } n(\text{elektron sayısı}) = \frac{1,21 + 0,81 + 0,92 + 0,660 + 0,92}{5} \approx 0,904$$

olur. Bu durumda reduksiyonda kullanılan elektron sayısının bir olduğu söylenebilir.

4. DENİZEL SONUCLARIN TECRİBİ

4.1. pH ETKİSİ

4-Benzoil-1,5 g feftalpirazol-β-karboksilti asit-sikol-su karışımında ($3,2 < \text{pH} < 7,5$) anotikta incelendiğinde tek bir reduksiyon pürüzsüz vermektedir. pH arttıkça yerde delik potansiyeli Uni-Univalent (1:1) taşıyıcı elektrolitler halinde yerde delik potansiyeli daha negatif olmaktadır. Buna karşın bi-bivalent (2:2) taşıyıcı elektrolitler halinde yerde delik potansiyeli daha pozitif değere kaymaktadır. Diffüzyon akımı ise, pH arttıkça azalmaktadır.

4.2. TAŞIYICI ELEKTROLİTLERİN ETKİSİ

Düşük pH'larda ($3 < \text{pH} < 5,3$) taşıyıcı elektrolit olarak bi-bivalent (2:2) kullanımı halinde diffüzyon akım miktarı Uni-Univalent (1:1) taşıyıcı elektrolitler kullanımı halinde elde edilen diffüzyon akım miktarından daha fazladır.

4.3. REDÜKSİYON SEİM İDRONUN SAPTANMASI

Diffüzyon akımı, Çerçinin belirttiği gibi, LiCl , NaCl ve KCl arasında elde edilen potansiyellardan elde edilen verilerle incelenmişse de, lardan ekimini engellemeye gözlemlendi. Buna göre, reduksiyon akımı diffüzyon akım oru-11K delik boyunca indirgenen irreversibel olan diffüzyon akımı LiCl , NaCl ve KNO_3 gibi taşıyıcı elektrolitler halinde kontrollüdür. Na_2SO_4 gibi 2-degerlik taşıyıcı elektrolitler halinde ise diffüzyon akımı kaynaklı olup kontroldür.

4. DENEYSEL SONUÇLARIN DEĞERLENDİRİLMESİ

4.1. pH ETKİSİ

4 Benzoil 1,5 di fenil pirazol -3-karboksilli asit alkol-su karışımında ($3,2 < \text{pH} < 7,5$) arasında incelendiğinde tek bir redüksiyon pik vermektedir. pH arttıkça yarınl dalga potansiyeli üni-ünivalent (1:1) taşıyıcı elektrolitler halinde yarınl dalga potansiyeli daha negatif olmakta buna karşın bi-bivalent (2:2) taşıyıcı elektrolitler halinde yarınl dalga potansiyeli daha pozitif değere kaymaktadır. Diffüzyon akımı ise, pH arttıkça azalmaktadır.

4.2. TAŞIYICI ELEKTROLİTLERİN ETKİSİ

Düşük pH'larda ($3 < \text{pH} < 4,3$) taşıyıcı elektrolit olarak bi-bivalent (2:2) kullanılması halinde diffüzyon akım miktarı üni-ünivalent (1:1) taşıyıcı elektrolitler kullanılması halinde elde edilen diffüzyon akım miktarından daha fazladır.

4.3. REDÜKSİYON AKIM TÜRÜNÜN SAPTANMASI

Diffüzyon akımının türünün belirlenmesi için $I_d = f\sqrt{h^+}$ ve $I_d = f(c)$ arasında çizilen polarogramlardan elde edilen verilerle çizilen diyogramlardan akımın Lineer olduğu gözlendi. Buna göre, redüksiyon akım diffüzyon akım olup ilk dalga boyunca indirgeme irreversibl olup diffüzyon akım LiCl , NaCl ve NaNO_3 gibi taşıyıcı elektrolitler halinde kontrollüdür. Na_2SO_4 gibi 2 değerlikli taşıyıcı elektrolit halinde ise diffüzyon akım maximum olup kontrolsüzdür.

1) BDPPCA pirazol türevleri gibi redüksyon dansa pirazol halkasına bağlı substituentler üzerinde etismektedir. Pirazol halkası redüksiyondan hiçbir şekilde etkilenmemektedir.

2) Susuz ortamda polarografik olarak incelenmek gerekir.

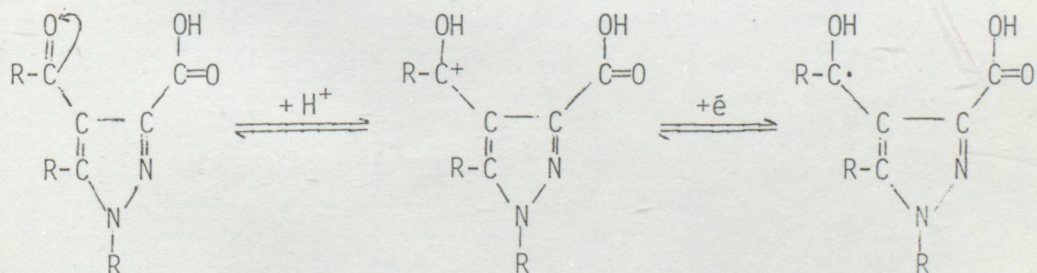
3) İkinci sistemi için en iyi tasviçi elektrolit tittium klorididir. Bi-bivalent elektrolitler altında ise doğrudan sulfatdır.

5. SONUÇ VE ÖNERİLER

4 benzoil 1,5 di fenil pirazol-3-karboksilli asit (BDPPCA) alkolsu çözeltisinde değişik taşıyıcı elektrolitlerle polarografik olarak incelendiğinde susuz ortamda, incelenmiş pirazol türevleri gibi tek bir redüksyon piki vermektedir. Buna karşın sulu çözeltide iki pik vermiştir (51).

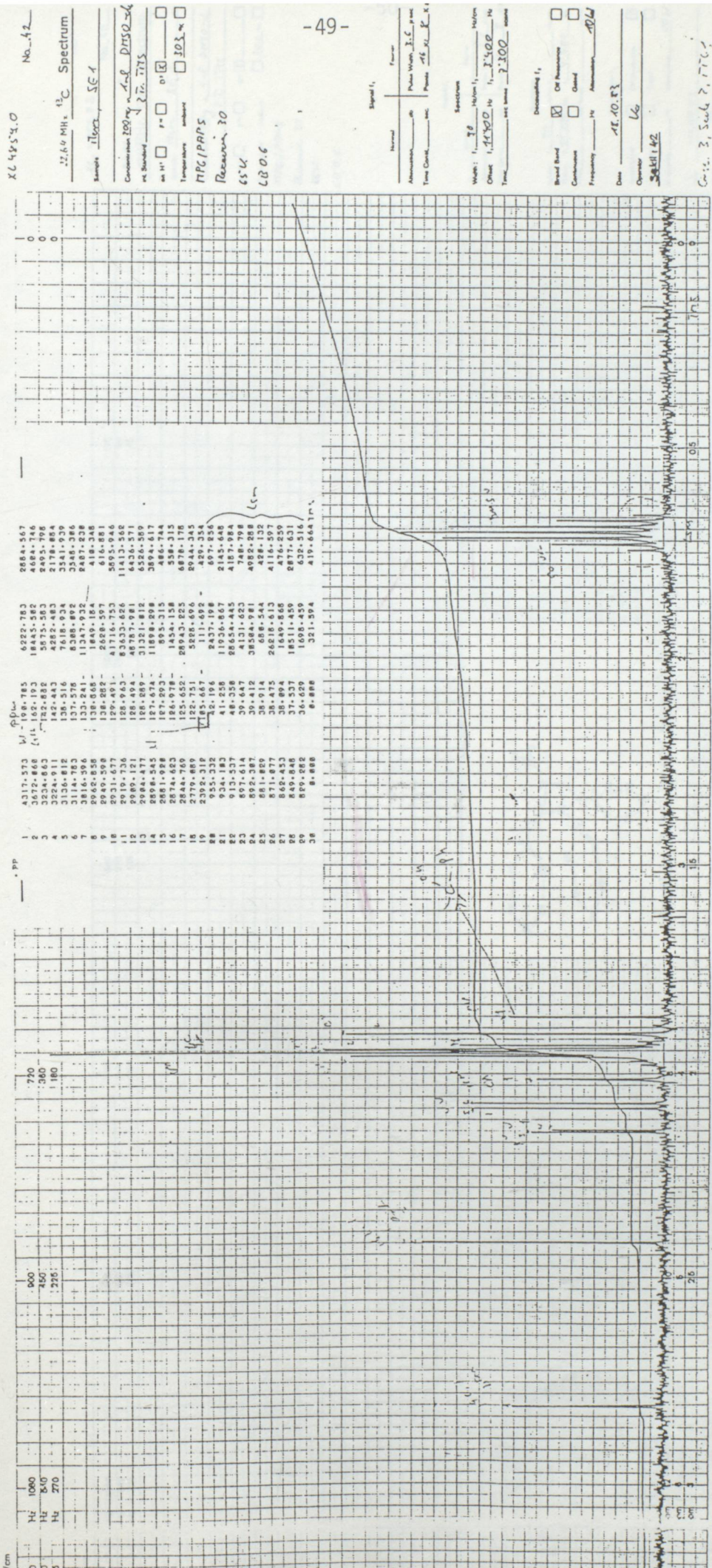
Redüksyon piki BDPPCA'nın benzoil gurubundaki karbonil üzerinde olmaktadır. Önce bir hidrojen atomu $\text{ph}-\text{C}=\text{O}$ bu guruba katıldı ve arkasından bir elektron alarak karbon radikalini (C^{\cdot}) oluşturdu. Eğer ortamda H^+ atomu yani proton olmuş olsaydı kolaylıkla radikale katılarak kararsız hale getirip ikinci bir elektronun benzoil gurubuna katılıp bu gurubu anyonik yapıya dönüştürmesi mümkün olacaktı.

Bu açıklamalara göre redüksyon mekanizması şöyledir :



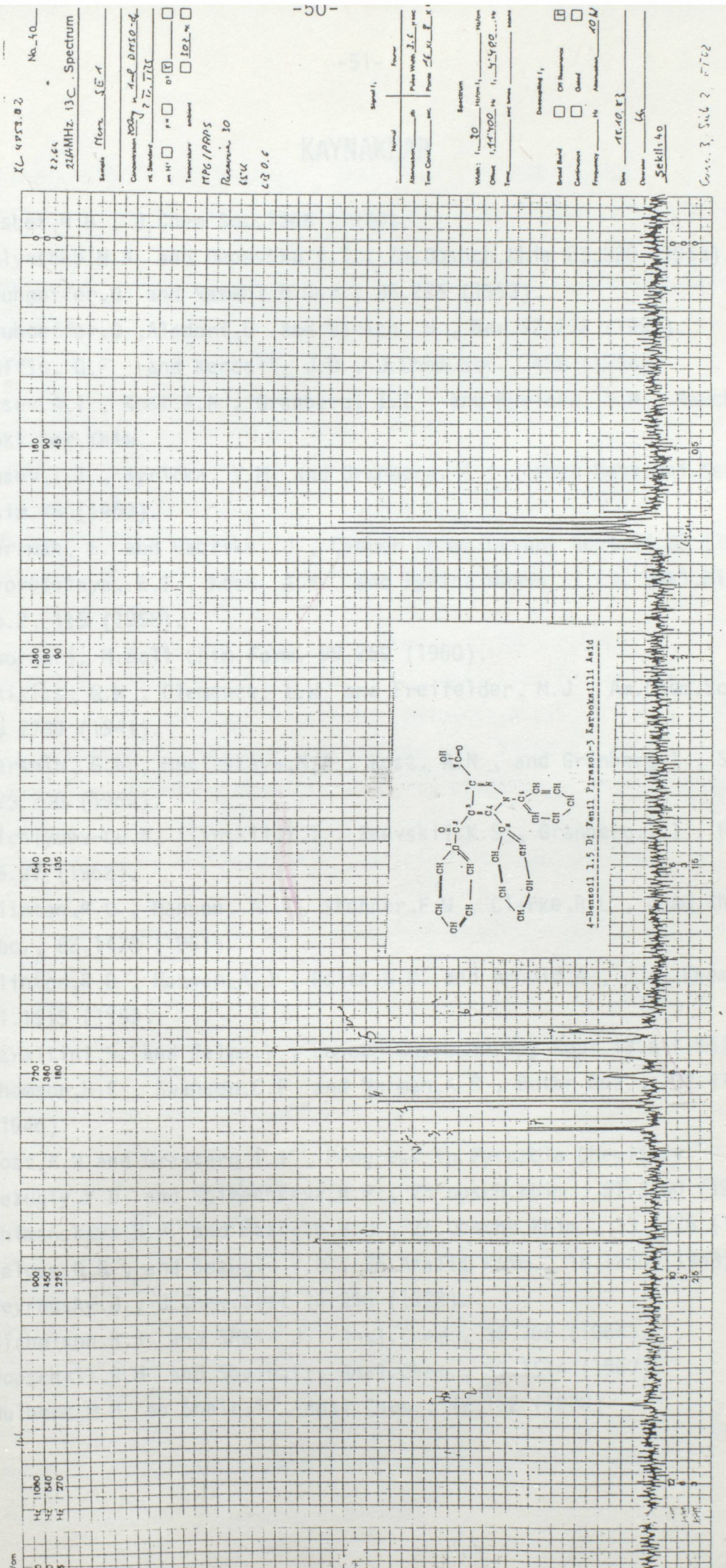
Buna göre alkolsu sistemiyle elde edilen polarogramlar susuz ortamda elde edilen polarogramlar gibi tek bir redüksyon piki vermektedir. Yeni bir pirazol türevi olan BDPPCA için çalışma ortamı en az alkolsu karışımı olmalıdır. Diğer pirazol türevleri gibi susuz ortamda çalışmak en uygunudur.

- 1) BDPPCA pirazol türevleri gibi redüksiyon daima pirazol halkasına bağlı sübstittenler üzerinde oluşmaktadır. Pirazol halkası redüksiyondan hiçbir şekilde etkilenmemektedir.
- 2) Susuz ortamda çalışmak imkansız ise en az alkol-su sisteminde BDPPCA'yı çözüp polarografik olarak incelemek gereklidir.
- 3) Alkol-su sistemi için en iyi taşıyıcı elektrolit uni-ünivalent elektrolitler halinde sodyum nitrat ve lityum klorürdür. Bi-bivalent elektrolitler halinde ise sodyum sülfattır.
- 5) Diğer pirazol türevleri gibi BDPPCA içinde en iyi çalışma elektroodu civa damla elektrod (DME) olduğu gözlendi.



Sekil 15: Baslangic maddesinin ^{13}C NMR Spektrumu

Sekil 16 : Hidrojen tasimiyon karbonlar Singlet halinde



KAYNAKLAR

- 01- Misbet.H.B , J.Chem Soc.1568 (1938).
- 02- Volyashko.N.A and Depeshko I.T., Zh.Obshch.Khim 23.320 (1953).
- 03- Neuhoeller.O and Rasah1.D.Ber., 86.226 (1953).
- 04- Neuhoeller.O ,Alsdorf,G and Ulrich, H , Ber.92.252 (1959).
- 05- Duffin, G.F and Kendoll, J.D , J.Chem.Soc., 408 (1954).
- 06- Busev.A.I , Kost.A.N , Granberg. I.I and Byrcka. V.M , Nauchn Dokl.Ser.Khim.
- 07- Busev.I.I , Byrcka. V.M. and Granberg. I.I , Vetrn Mosk.Uni.Ser. Khim.76 (1960).
- 08- Herrman, E. and Gabliks. J , Cancer Chemotherapy Rept.14.85 (1961).
- 09- Ovoretskaya, E.I , Kost. A.N and Pyrina Nauhn. I.L , Dokl.Biol. No.2, 115 (1958).
- 10- Guorneri M.Boll Chim.Form. 99.259 (1960).
- 11- Raiziss. G.W , Clemence. L.W and Freifelder. M.J , Am.Chem.Soc. 63 2739 (1941).
- 12- Pershin, G.N , Novitskaya,N.A , Kost. A.N , and Granberg.I , SSSR. 123.200 (1959).
- 13- Vichlyoev-Lu.N, İlinskii.Y.I , Raevkii.K.S , Granberg.I.I , Farmkol, 25.27 (1962).
- 14- Clinton.R.O , Manson. A.J , Stonner.F.W , Clarke.R.L , J.Am.Chem. Soc., 83.1478 (1961).
- 15- Clinton.R.D , Manson,A.J , Polts.G.D. and Arnold.A , J.Am.Chem.Soc. 81.1513 (1959).
- 16- Garalttini,S. and Palma.V , Cancer Chemotherapy Rept.13.q (1961).
- 17- Thomson,H.E , Swanson,C.P and Norman,A.G , Botan Guz. , 107.476 (1946).
- 18- Kost.A.N and Granberg I.I , Progress in Pyrozole Chemistry.
- 19- Bezugly.V.D and Shimanskaya.N.P , Zh obsch.Khim., 31.3160 (1961).
- 20- Shimanskaya.N.P and Bezugly.V.D , Zh.Obsche.Khim., 33.1726 (1963).
- 21- Belous,G.G , and Bezugly.V.D , Zh.Analit Khim., 18,1250 (1963).
- 22- Heyrousky.J , J.Chem.List 16.256 (1922).
- 23- Nicholson.R.S and Shain J. , Anal.Chem., 36.706 (1964).
- 24- Wopschall.R.H and Shain,I. , Anal.Chem., 39.1514 (1967).
- 25- Hulbert.M.H. an Shain,I , Anal.Chem., 42.162 (1970)

- 26- Nicholson.R.S and Shain,I , Anal.Chem., 37.190 (1965).
- 27- Mastragostino.M , Nadjo.L and Saveant.J.M ,Electrochim.Acta., 13. 721 (1968).
- 28- Adams.R.N , Electrochemistry at solid electrocyles.,Marcel.Dekker., (1969).
- 29- Hickling.A , Trans Faraday Soc., 38.27 (1942).
- 30- Lingane.J.J , J.Am.Chem.Soc., 67.1916 (1945).
- 31- Antweiler.H.J , Zh.Electrochem., 44.831 (1938).
- 32- Kemula.W and Kublik. Z , Advances in Anal.and Chem.V.2p.123 (1963).
- 33- Gerischer.H , Zh.Physik.Chem.(Leipzig) 202.302 (1953).
- 34- Gaikazyon.Melik.V.I , Zh.Fiz.Khim.26.560 (1952).
- 35- De Mars.R.D , and Sham.I , Anal. Chem., 30-1808 (1958).
- 36- H.Gerischer , Anal.Chem., 31-33 (1959).
- 37- Martin.K.J , and Shain.I , J.Am Chem., 30.1808 (1958).
- 38- Ross.J.W , De Mars.R.D and Shain.I , Anal.Chem.28.1768 (1956).
- 39- Skobets.E.M and Kacherova.S.A , Zavodskaya Lab., 13.133 (1947).
- 40- Berzuis.T and P.Delahay , J.Am.Chem.Soc. 77.6448 (1955).
- 41- Adams.R.N , Electrochemistry at solid electrodes, Marcel Dekker., (1969).
- 42- Piekarski,S.P and Adams.R.N , Physical Methods of Chem., Vol.I part. II.(1971).
- 43- Elving.P.J and Smith.D.L , Analtical Chemistry 1962, Amsterdam, (1963).
- 44- Beilby.A.L , Bibliography on the use and nature of carbon as a electrode material in Electroanalytical methods pomono College., California (1965).
- 45- Laitinen.H.A and Kolthoff.I.M , J.Phys.Chem., 45.1061.1079 (1941).
- 46- Skobets.E.M and Kacherova.S.A Zavodskaya lab., 13.133 (1947).
- 47- Szymanski.H.A , İnfrared Band Handbook., Pleneum Press., Newyork 1963. I.II.Newyork 1964-III.IV. (1965).
- 48- Hershenson.H.M , Infrared Adsorbsion Spectra Index., Newyork, London (1964).
- 49- Merritt.D , Instrumental Methods of Analysis (1965).
- 50- Akçamur.Y , Gerhard Penn., Ziegler,E., Kollenz, G., Peters,k., Chem., 117.231-245 (1986).
- 51- Erturan.S. , BDPPCA'nın Polarografik İncelenmesi ve Elektrokimyasal Redüksiyonu.Doktora Tezi,i.Ü.Fen Bilimleri,Eylül (1986).

